

Original Research Paper

Mineralogy and geochemistry of clinopyroxene in peridotites of Nehbandan ophiolitic complex, eastern Iran

Hamid Karimzadeh¹, Mohammad Rahgosha¹, and Iman Monsef²¹ Department of Geology, Faculty of Earth Science, Shahid Beheshti University, Tehran, Iran² Department of Petrology, Faculty of Earth Sciences, Institute for Advanced Studies in Basic Sciences, Zanjan, Iran**ARTICLE INFO****Article history:**

Received: 2022 September 06

Accepted: 2023 January 31

Available online: 2023 June 22

Keywords:

Mineralogy

Geochemistry

Clinopyroxene

Peridotite

Nehbandan ophiolitic complex

Eastern Iran

ABSTRACT

The petrographical examination of peridotites of the Nehbandan ophiolitic complex revealed that the peridotites of Kalateh Shahpouri, Qadamgah, Lah-Kouh, Cheshmeh anjir, Bandan, and Zolfaghari were of harzburgite type and Sefid-Kouh and Nasfandeh-Kouh were of lherzolite type. Generally, the types of clinopyroxenes in the peridotites of this complex were diopside. The geochemical investigation of clinopyroxenes in Mg# vs. Al₂O₃, Cr₂O₃, and TiO₂ graphs and Ti vs. Nd, Zr, and Sr graphs shows that the peridotites of Nasfandeh-Kouh, Bandan, Zolfaghari, and Sefid-Kouh with a low degree of partial melting belong to the Abyssal tectonic setting and back-arc basin. On the other side, the harzburgites of Kalateh Shahpouri and Cheshmeh anjir were formed in the Supra-subduction zone tectonic setting and fore-arc basin and have a high degree of partial melting. The study of incompatible elements, LILE and HFSE in spider diagrams normalized to the primary mantle and as well as the study of REEs in spider diagrams normalized to the chondrite for clinopyroxenes confirm this issue. Therefore, Nasfandeh-Kouh and Sefid-Kouh lherzolites as well as Qadamgah, Lah-Kouh, Bandan, and Zolfaghari harzburgites with a low degree of depletion were more consistent with the Mid-oceanic ridge tectonic setting, and the harzburgites of Kalateh Shahpouri and Cheshmeh anjir were close to the Supra-subduction zone tectonic setting with a high degree of depletion.

1. Introduction

Ophiolites are a set of oceanic rocks with different appearances and mineralogy in the world's largest orogenic belt, from the Alpine to the Himalayas. The ophiolites of Iran are also located in this belt. The Nehbandan Ophiolitic Complex in eastern Iran is of great importance, among ophiolites of Iran. The investigated areas are located near the city of Nehbandan. The peridotites of the Nehbandan ophiolitic complex include the peridotites of Kalateh

Shahpouri, and Qadamgah, which are located in the northeast, Nasfandeh-Kouh, Lah-Kouh in the west, Sefid-Kouh in the northeast, and Cheshmeh anjir, Bandan and Zolfaghari are located in the southwest of Nehbandan city.

2. Research methodology

In this research for lithological and mineralogical studies, the thin and

* Corresponding author: Hamid Karimzadeh; E-mail: Hamidkarimzadeh73@yahoo.com

Citation:

Karimzadeh, H., Rahgosha, M., Monsef, I., 2023. Mineralogy and geochemistry of clinopyroxene in peridotites of Nehbandan ophiolitic complex, eastern Iran. Scientific Quarterly Journal, GEOSCIENCES, 33(2), 128, 135-154. <https://doi.org/10.22071/gsj.2023.360594.2030>.

E-ISSN: 2645-4963; Copyright©2021 G.S. Journal & the authors. All rights reserved.

doi: 10.22071/GSJ.2023.360594.2030

doi: 10.1001.1.10237429.1402.33.2.13.2



This is an open access article under the by-nc/4.0/ License (<https://creativecommons.org/licenses/by-nc/4.0/>)

polished sections were prepared from peridotites. The thin sections were analyzed by polarizing OLYMPUS microscope BH-2 and polished sections by the OLYMPUS BX-60 reflecting microscope. To determine the chemical composition of the minerals in peridotites, we used a CAMECA SX100 Electron Probe Micro Analyzer, the analytical condition include the voltage of 15 kV and 20 nA rays with counting times of 10 to 30 seconds at peaks for different minerals that are analyzed at the University of Hong Kong, and REEs concentrations of clinopyroxene in peridotites were obtained by laser ablation inductively coupled plasma mass spectrometry (LA-ICPMS) at the Guangzhou Institute of Geochemistry, Chinese Academy of Sciences, China. The instrument consists of an Agilent 7500a ICP-MS coupled with a Resonetics Resolution M-50 laser-ablation system. Ablated materials were transferred by helium gas. The output energy was approximately 80 mJ, and the spot size was 70 μm . Counting times for the background and analysis were 30 s and 40 s, respectively. External reference materials included two glass standards, SRM-612 and BHVO-2, and the analytical precision for their measurement was acceptable.

3. Results

In Nehbandan ophiolite complex, ultramafic rocks include peridotites of harzburgite and lherzolite type (Karimzadeh et al., 2020). The modal analysis of microscopic samples based on the method (Streckeisen, 1979; Le Bas, 2000) in the studied area shows that the peridotites of Kalateh Shahpouri, Gadamgah, Lah-Kouh, Cheshmeh anjir, Bandan, and Zolfaghari were of harzburgite type and Sefid-Kouh and Nasfandeh-Kouh areas were of lherzolite type. Generally, in peridotites, the amount of olivine ranges from 70 to 89%, orthopyroxene from 10 to 30%, and clinopyroxene from less than 1% in the harzburgites of the Kalateh Shahpouri to 8% in the Sefid-Kouh lherzolites. Chrome-spinel is subphase that was present in most of the samples and its volume amount is usually less than 2% of the whole rock volume. In this research, the main focus is on the clinopyroxene mineral.

Based on the chemical analysis of the major elements and calculation of the formula of the clinopyroxenes in the peridotites of the Nehbandan ophiolitic complex by the method (Deer et al., 2013), the type of clinopyroxenes of this complex is diopside (En46-51 Fs3-8 Wo45-50), although the clinopyroxenes of Bandan and Nasfandeh-Kouh are located on the border between diopside and augite.

From transferring the results of the chemical analysis of the major elements of clinopyroxenes in the graphs of Mg# vs Al_2O_3 , Cr_2O_3 , and TiO_2 and transferring the results of the chemical analysis of the trace elements of clinopyroxenes in the graphs of Ti vs Nd, Zr and Sr as Separately, determined that the peridotites of Qadamgah, Nasfandeh-Kouh, Lah-Kouh, Bandan, Zolfaghari, and Sefid-Kouh

were of the type of the Abyssal peridotites that located in a back-arc basin. However, the peridotites of Kalateh Shahpouri and Cheshmeh anjir were the type of peridotites supra-subduction zone that formed in a fore-arc basin.

The incompatible elements of clinopyroxenes of the Nehbandan ophiolitic complex in spider diagrams normalized to the primary mantle show that Pb enrichment and Ba depletion occurred in all areas. Ta element is associated with a large drop in Sefid-Kouh and Zolfaghari areas. Zr, Nb, and Sr show negative anomalies. It should be noted that the decoupling of U from Th, Nb from Ta, and Zr from Hf is visible.

In clinopyroxenes of Nasafandeh-Kouh, Sefid-Kouh, Qadamgah, Lah-Kouh, Bandan, and Zolfaghari areas, LREEs were depleted and HREEs were enriched. However, in the areas of Kalateh Shahpouri and Cheshmeh anjir, HREEs were as well as depleted. This state is also seen in the REEs spider diagrams normalized to chondrite.

4. Discussion

Ophiolites can originate from different tectonic settings such as Mid-oceanic ridges or back-arc extension centers, as well as areas in the Supra-subduction zone or back-arc basins (Pearce et al., 1984). Therefore, in the Mid-oceanic ridges, the degrees of partial melting and depletion are generally low. In contrast, the supra-subduction zone peridotites have a high degree of partial melting and depletion (Niu and Hekinian, 1997). Naturally, the high degree of depletion of peridotites is the result of subduction zone processes (Pearce et al., 1984).

The amounts of Mg#, Al_2O_3 , Cr_2O_3 , and TiO_2 in clinopyroxenes represent the tectonic setting of their host-peridotites. High values of Mg# in clinopyroxene represent the peridotites of the Supra-subduction zone tectonic setting, and high values of Al_2O_3 , Cr_2O_3 , and TiO_2 in clinopyroxenes as well as represent the peridotites of the Mid-oceanic ridges or abyssal tectonic setting (Xiong et al., 2019).

A positive correlation between Cr_2O_3 and Al_2O_3 can be seen in clinopyroxenes in peridotites of the Nehbandan ophiolitic complex. From this point of view, these clinopyroxenes are similar to diopsides obtained from the hydrothermal ophiolite of North Oman (Akizawa et al., 2011). These clinopyroxenes are produced by calcium-rich fluids under high-temperature conditions, over 900 °C (Python et al., 2007).

Mantle clinopyroxenes of Oman ophiolites show a very prominent positive anomaly in Sr and Eu (Akizawa et al., 2011). This is not the case with the negative Sr anomaly in the clinopyroxenes of this study. Clinopyroxenes in the subduction zone or subcontinental lithospheric mantle are enriched in LILE and depleted in HFSE (Xu et al., 2000; Bodinier and Godard, 2007). In contrast, abyssal or Mid-oceanic ridges clinopyroxenes show a smooth linear

distribution in these elements (Bodinier and Godard, 2007). According to the geodynamic pattern of the Nehbandan ophiolitic complex, the characteristics of the abyssal zone are evident in most of the studied areas. However, in some areas, the characteristics of the Supra-subduction zone prevail. In spider diagrams, the decoupling of U from Th is done in oxidized conditions (Bali et al., 2011). As well as, the decoupling of Nb from Ta and Zr from Hf occurs during degassing (Danyushevsky et al., 1995).

The high degree of emission and high activation energy of Pb occur in anhydrous and oxygen-buffered conditions in diopside-type clinopyroxenes (Cherniak, 2001). Therefore, the enrichment of Pb in the clinopyroxenes of the Nehbandan ophiolitic complex, which are typically diopside, is a natural thing. Ba depletion is also indicated in abyssal regions (Xu et al., 2000). REEs in abyssal clinopyroxenes show a linear distribution normalized to the primary mantle (Bodinier and Godard, 2007). In Mid-oceanic ridges clinopyroxene, LREEs such as La, Ce, Pr, Nd, Sm, Eu, and Gd are somewhat depleted, and HREEs such as Tb, Dy, Ho, Er, Tm, Yb, and Lu also show enrichment (Seyler et al., 2001) which is evident in clinopyroxene spider diagrams normalized to the primary mantle for the Nasfandeh-Kouh and Sefid-Kouh areas and also to some extent in Qadamgah, Bandan, and Zolfaghari areas, and in the Supra-subduction zone type, REEs show depletion (Seyler et al., 2001) which is like this case in Kalateh Shahpouri and Cheshmeh anjir areas.

In the study of the spider diagrams of REEs for clinopyroxenes normalized to chondrite (Seyler et al., 2001; Sano and Kimura, 2007) was found that the degree of partial melting for the lherzolites of Nasfandeh-Kouh and Sefid-Kouh and the harzburgites of Qadamgah, Bandan, and Zolfaghari is approximately between 5 and 10% and it is 15% for harzburgites from areas such as Kalateh Shahpouri and Cheshmeh anjir. This is in agreement with the results obtained in the graphs of Ti versus Nd, Zr, and Sr (Bizimis et al., 2000; Gornova et al., 2020). The high amount of Nd element in clinopyroxenes indicates the low partial melting and depletion

degrees in their host peridotites (Bizimis et al., 2000). The same issue is true for Zr and, Sr (Gornova et al., 2020). REEs are immobile at low temperatures (Hulme et al., 2010) and show almost no relationship with serpentinization (Zhou et al., 2005). Enrichment of REEs in abyssal-type clinopyroxenes normalized to chondrites is natural (Bodinier and Godard, 2007). This issue is in complete agreement with the clinopyroxenes found in all the peridotites of Nehbandan, except for Kalateh Shahpouri and Cheshmeh anjir areas. The depletion of REEs in the clinopyroxenes of these areas normalized to chondrites as well as suggests the Supra-subduction zone tectonic setting (Bodinier and Godard, 2007).

5. Conclusion

According to the petrographic and mineralogical studies of clinopyroxenes in the peridotites of the Nehbandan ophiolitic complex and their geochemical, and mineralogical analysis concluded that the peridotites of Kalateh Shahpouri, Qadamgah, Lah-Kouh, Cheshmeh anjir, Bandan, and Zolfaghari were of harzburgite type and Sefid-Kouh and Nasfandeh-Kouh areas were of lherzolite type. Generally, the types of clinopyroxenes of this complex were diopside. From the geochemical study of the major and trace elements and the normalized spider diagrams normalized to the primary mantle and chondrite for the clinopyroxenes of the peridotites in this complex determined that the peridotites of Nasfandeh-Kouh, Bandan, Zolfaghari and Sefid-Kouh with low partial melting and depletion degrees were related to the Mid-oceanic ridges tectonic setting or abyssal that formed in the back-arc basins. On the other side, the Harzburgites of Kalateh Shahpouri and Cheshmeh anjir were Supra-subduction zone peridotites and originated from fore-arc basins and have a high degree of partial melting and depletion.

6. Acknowledgments

The authors of the article are grateful to Iran National Science Foundation (INSF) for their spiritual and material support.

کانی‌شناسی و ژئوشیمی کلینوپیروکسن موجود در پریدوتیت‌های مجموعه افیولیتی نهیندان، خاور ایران

حمید کریم‌زاده^{۱*}، محمد رهگشای^۱ و ایمان منصف^۲^۱ گروه زمین‌شناسی، دانشکده علوم زمین، دانشگاه شهید بهشتی، تهران، ایران^۲ گروه پترولوری، دانشکده علوم زمین، دانشگاه تحصیلات تکمیلی علوم پایه، زنجان، ایران

چکیده

مطالعه سنگ‌شناسی پریدوتیت‌های مجموعه افیولیتی نهیندان مشخص کرد که پریدوتیت‌های کلاته‌شاپوری، قدمگاه، لاه‌کوه، چشم‌انجیر، بندان و زلفقاری از نوع هارزبورزیت و مناطق سفیدکوه و ناسفند کوه از نوع لرزولیت هستند. نوع کلینوپیروکسن‌های موجود در پریدوتیت‌های این مجموعه به طور عموم، دیوپسید هستند. بررسی ژئوشیمیابی کلینوپیروکسن‌ها در نمودارهای $Mg/\text{Al}_2\text{O}_3$, $\text{Cr}_2\text{O}_3/\text{TiO}_2$ و Sr/Nd در برابر Zr/Ti نشان می‌دهد که پریدوتیت‌های ناسفند کوه، بندان، زلفقاری و سفیدکوه با درجه ذوب بخشی پایین، متعلق به جایگاه زمین‌ساختی آیسال و حوضه پشت‌قوس هستند. ولی هارزبورزیت‌های کلاته‌شاپوری و چشم‌انجیر در جایگاه زمین‌ساختی بالای منطقه فروزانش و در حوضه جلوی قوس تشکیل شده‌اند و دارای درجه ذوب بخشی بالای هستند. مطالعه عناصر ناسازگار LILE و HFSE در نمودارهای عنکبوتی بهنجارشده نسبت به گوشه اولیه و همینطور بررسی عناصر REE بهنجارشده نسبت به کندریت در کلینوپیروکسن‌ها هم گویای این موضوع است، به طوری که لرزولیت‌های ناسفند کوه، سفیدکوه و همینطور هارزبورزیت‌های لاه‌کوه، بندان و زلفقاری با درجه تهی شدگی پایین با جایگاه زمین‌ساختی پشت‌های میان اقیانوسی بیشتر هم‌خوانی دارند و هارزبورزیت‌های کلاته‌شاپوری و چشم‌انجیر نیز با درجه تهی شدگی بالا به منطقه فروزانش نزدیک هستند.

اطلاعات مقاله

تاریخ پذیره مقاله:

تاریخ دریافت: ۱۴۰۱/۰۶/۱۵

تاریخ پذیرش: ۱۴۰۱/۱۱/۱۱

تاریخ انتشار: ۱۴۰۲/۰۴/۰۱

کلیدواژه‌ها:

کانی‌شناسی

ژئوشیمی

کلینوپیروکسن

پریدوتیت

مجموعه افیولیتی نهیندان

خاور ایران

۱- پیش‌نوشتار

است (شکل ۱). مطالعات اولیه زمین‌شناسی این ناحیه توسط اشتوكلین (Stocklin, 1977) انجام شده است. مطالعه زون بین بلوک لوت و افغانستان توسط تیرول و همکاران صورت پذیرفته است (Tirrell et al., 1983). گستره‌های مورد مطالعه در بخش شمال خاوری نقشه زمین‌شناسی ۱:۲۵۰۰۰ زابل (علوی نایینی و همکاران, ۱:۱۳۶۹ فرار گرفته‌اند. همینطور این مناطق در نقشه‌های زمین‌شناسی ۱:۱۰۰۰۰ نهیندان (Tirrell et al., 1989) و ۱:۱۰۰۰۰ چهارفرستگ (حمزه‌پور, ۱۳۵۳) فرار می‌گیرند. بررسی‌های ژئوشیمیابی و پتروزنر پریدوتیت‌های شمال خاور نهیندان، توسط دلاری و همکاران تحت عنوان رساله دکتری صورت پذیرفته است (Delavari et al., 2009). مطالعه سنگ‌ساختی و ژئوشیمیابی خاور و شمال خاور مجموعه افیولیت‌های نهیندان توسط ساکانی و همکاران (Saccani et al., 2010) انجام شده است. آخرین بررسی‌های جامع زمین‌ساختی در این ناحیه توسط

افیولیت‌ها به عنوان مجموعه‌ای از سنگ‌های اقیانوسی با ویژگی‌های ساختاری، ژئوشیمیابی و کانی‌شناسی متغیر در کمربند کوه‌های آلب - هیمالیا دیده می‌شوند که افیولیت‌های ایران نیز بخشی از این کمربند کوه‌های هستند (شکل ۱). در بین افیولیت‌های ایران، مجموعه افیولیتی نهیندان در خاور ایران از اهمیت زیادی برخوردار است. محدوده‌های مورد بررسی در نزدیکی شهر نهیندان فرار دارند. سنگ‌های اولتراماگنیک مجموعه افیولیتی نهیندان شامل پریدوتیت‌های کلاته‌شاپوری، قدمگاه که در شمال خاور و ناسفند کوه، لاه‌کوه در باختر و سفیدکوه در شمال خاور و چشم‌انجیر، بندان و زلفقاری در جنوب باختری شهر نهیندان فرار گرفته‌اند. مختصات جغرافیایی مجموعه افیولیتی نهیندان در نقشه زمین‌شناسی آمده است (شکل ۱). این منطقه مساحتی حدود ۷۵ کیلومتر دارد. موقعیت مناطق مطالعه شده در نقشه زمین‌شناسی مشخص شده

* نویسنده مسئول: حمید کریم‌زاده؛ E-mail: Hamidkarimzadeh73@yahoo.com

مأخذنگاری:

کریم‌زاده، ح، رهگشای، م، منصف، ا، ۱۴۰۲، کانی‌شناسی و ژئوشیمی کلینوپیروکسن موجود در پریدوتیت‌های مجموعه افیولیتی نهیندان، خاور ایران. فصلنامه علمی علوم زمین، ۳۳(۲)، ۱۲۸، ۱۵۴-۱۳۵. <https://doi.org/10.22071/gsj.2023.360594.2030>

doi: 10.22071/GSJ.2023.360594.2030



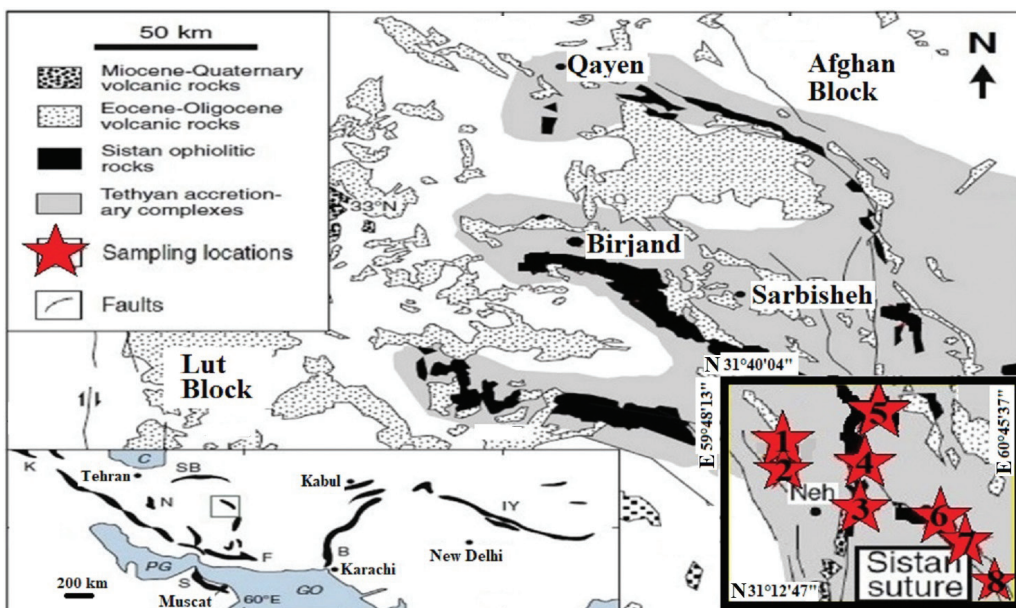
dor: 20.1001.1.10237429.1402.33.2.13.2

حقوق معنوی مقاله برای فصلنامه علوم زمین و نویسنده‌گان مقاله محفوظ است.

This is an open access article under the by-nc/4.0/ License (<https://creativecommons.org/licenses/by-nc/4.0/>)

شده‌اند و منشأ متفاوتی از همدیگر را نشان می‌دهند. هدف اصلی این پژوهش، مطالعه کانی‌شناسی و ژئوشیمی عناصر اصلی و کمیاب کلینوپیروکسن‌های موجود در پریدوتیت‌های گوشه‌ای مجموعه افیولیتی نهیندان و همینطور مطالعه پتروژئن آنهاست.

کریم‌زاده و همکاران (2020) و کریم‌زاده (Karimzadeh et al., 2021) صورت پذیرفته است. در این پژوهش‌ها، در کنار مطالعه بخش پوسته‌ای مجموعه افیولیتی نهیندان، پریدوتیت‌های این مجموعه نیز بررسی شده‌اند و چنین نتیجه‌گیری شده است که پریدوتیت‌ها در محیط‌های زمین‌ساختی متفاوت تشکیل



شکل ۱- نقشه زمین‌شناسی خاور ایران، مجموعه افیولیتی نهیندان و مناطق مورد مطالعه که با علامت ستاره و شماره داخل شان مشخص هستند که به ترتیب عبارت هستند از ۱- منطقه کلانه شاهپوری، ۲- منطقه قدمگاه، ۳- منطقه ناسفنده کوهه یا خوانشرف، ۴- منطقه لاه کوهه، ۵- منطقه سفید کوهه یا بی بی مریم، ۶- منطقه چشم‌های انجیر، ۷- منطقه بندان، ۸- منطقه زلفقاری (Zarrinkoub et al., 2012). (Neh=Nehbandan, B=Bella, IY=Indoz-Yarlong, K=Khoy, N=Niriz, S=Smail, SB=Sabzevar).

Figure 1. Geological map of eastern Iran, Nehbandan Ophiolitic Complex and the research areas marked with asterisks and numbers inside them, which are respectively: 1-Kalateh Shahpouri area, 2-Qadamgah area, 3-Nasfandeh-Kouh or Khansharf area, 4-Lah-Kouh area, 5-Sefid-Kouh or Bibi Maryam area, 6-Cheshmeh anjir area, 7-Bandan area, 8-Zolfaghari area (Zarrinkoub et al., 2012). (Neh=Nehbandan, B=Bella, IY=Indoz-Yarlong, K=Khoy, N=Niriz, S=Smail, SB=Sabzevar).

۲- روش پژوهش

در این مقاله، جهت مطالعات سنگ‌شناسی و کانی‌نگاری از نمونه‌ها مقاطع نازک و صیقلی تهیه گردید. مقاطع نازک تهیه شده از نمونه‌ها توسط میکروسکوپ پلاریزان OLYMPUS مدل BH-2 و مقاطع صیقلی توسط میکروسکوپ انعکاسی OLYMPUS مدل BX-60 بررسی شدند. تعیین ترکیب شیمی کانی‌های موجود در نمونه‌های مانگانیکی، از دستگاه الکترون مایکروپروروب (Electron Probe Micro) مدل CAMECA SX100 (Analyzer) (EMPA) که شرایط آنالیزی شامل ولتاژ ۱۵ کیلو ولت و جریان اشعه ۲۰ نانو آمپر با زمان‌های شمارش ۱۰ تا ۳۰ ثانیه در یک‌ها، برای کانی‌های مختلف هستند که در دانشگاه هنگ‌کنگ انجام شده است. غلظت عناصر نادر خاکی کلینوپیروکسن با دستگاه لیزر فرسایشی طیف‌سنجی جرمی پلاسمای جفت القابی (LA-ICP-MS) در موسسه ژئوشیمی گوانگزو، آکادمی علوم چین به دست آمده است. این دستگاه مدل Agilent 7500a ICP-MS همراه با یک سیستم لیزر فرسایشی Resonetics Resolution M-50 تشکیل شده است. مواد سایده شده توسط گاز هلیم منتقل می‌شوند. انرژی خروجی تقریباً ۸۰ میلی ژول و اندازه نقطه ۷۰ میکرومتر و زمان شمارش پس زمینه و تحلیل به ترتیب ۳۰ ثانیه و ۴۰ ثانیه

بودند. مواد مرجع خارجی شامل دو استاندارد شیشه SRM-612 و BHVO-2 و دقت تحلیلی برای اندازه‌گیری آن‌ها قابل قبول بود.

۳- نتایج

در این بخش به ترتیب، زمین‌شناسی صحرایی، کانی‌شناسی، سنگ‌نگاری (پتروگرافی)، شیمی کانی عناصر اصلی و کمیاب به همراه مطالعه نمودارهای عنکبوتی بهنجارشده نسبت به گوشه‌ای اولیه و کندریت کلینوپیروکسن‌ها، ارایه خواهد شد.

۳-۱- زمین‌شناسی صحرایی مجموعه افیولیتی نهیندان

در بین سنگ‌های توالی مجموعه افیولیتی نهیندان، پریدوتیت‌های گوشه‌ای از فراوانی بالایی نسبت به سایر سنگ‌های این مجموعه برخوردارند که به صورت قطعاتی با اندازه‌های متفاوت در سطح زمین ظاهر شده‌اند. ابعاد هر برونزد نیز معمولاً یکسان نیست به گونه‌ای که طویل شدگی در این مجموعه افیولیتی در جهت

رخمنون‌های پریدوتیتی، دره‌ها کمتر حالت تیزی به خود می‌گیرند و صخره‌های پرتگاهی در آن‌ها دیده نمی‌شود؛ و از این رو، پیمایش صحرایی را امکان‌پذیر می‌کند (شکل A-۲). ولی وجود هوازدگی و فرسایش برخی از رخمنون‌ها که غالباً سرپانتینی شدن است، کار صحرایی را با مشکل مواجه می‌کند.

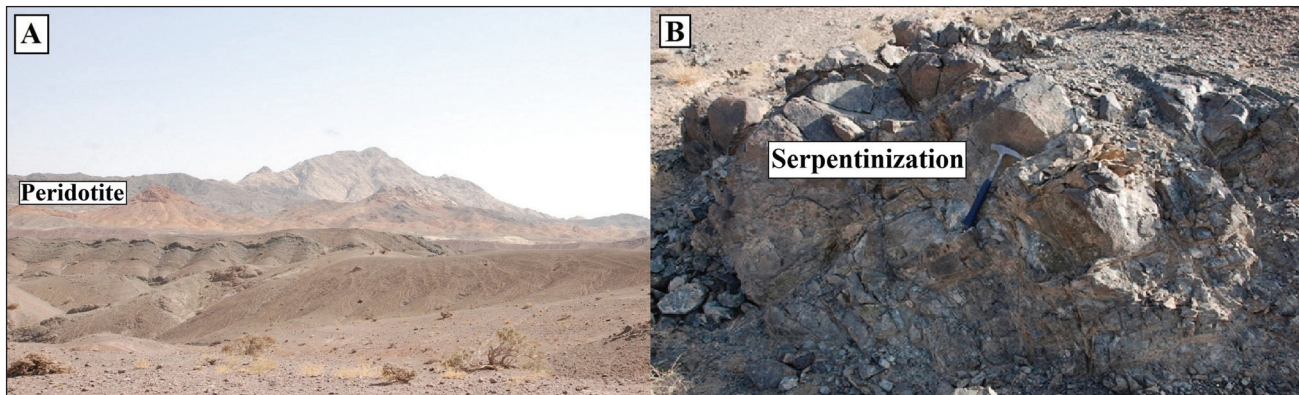
رنگ رخمنون‌های پریدوتیتی از قهوه‌ای کمرنگ تا تیره و نیز خاکستری تا خاکستری متمایل به سبز و سبز تیره در سطح هوازده تغییر می‌کند (شکل A-۲). رنگ خاکستری روشن تا به طور کامل روشن نیز مختص نقااطی است که سرپانتینی شدن پریدوتیت‌ها بسیار شدید بوده و تا چند سانتی‌متری ژرفای سنگ نفوذ کرده و یا در محل‌های نفوذ محلول‌ها به درون سنگ و در اطراف درزهای و شکستگی‌های ناشی از خرد و برشی شدن، بیشتر کانی‌های اولیه پریدوتیت توسط کانی‌های گروه سرپانتین جایگزین شده است اما رخمنون سنگی حفظ شده است (شکل B-۲).

پریدوتیت‌های سرپانتینی شده در صحراء به سبب مقاومت کمتر یا رنگ روشن قابل تشخیص هستند.

شمال - جنوب تا شمال باخترا - جنوب خاور در بیشتر پریدوتیت‌ها وجود دارد. در دیگر بخش‌های زمین درز سیستان نیز چنین حالتی دیده می‌شود. این پدیده، خود گواه بر گسیختگی‌های زمین‌ساختی است که عامل آن‌ها گسل‌هایی با طول مشابه هستند.

در خاور روستاهای کلاته‌شاپوری و قدمگاه، پریدوتیت‌های گوشته‌ای با عرض کمتر از ۲ کیلومتر و طول بیش از ۷ کیلومتر در راستای شمال باخترا نهیندان جای گرفته‌اند. در بخش‌های میانی محدوده مطالعه مانند لاه‌کوه و ناسفنه کوه، بروزرهای پریدوتیتی با اندازه‌های کمتر از ۵۰۰ متر مربع نیز وجود دارند که به صورت توده‌ای با رنگ تیره‌تر در زمینه روشن رسویات جوان دیده می‌شوند (شکل A-۲).

فرایند فرسایش و الگوی آبراهه‌ها در رخمنون‌های پریدوتیتی به گونه‌ای است که در برخی موارد از گسل‌های منطقه پیروی می‌کند و دره‌های کم‌رفا تا حدودی ژرف منطبق بر گسل‌ها را تشکیل می‌دهند. در برخی موارد نیز آبراهه‌ها مستقل از گسل‌ها و متأثر از ریخت فرسایشی تشکیل شده‌اند. با توجه به شبیه کم سطح توپوگرافی



شکل ۲- (A) توپوگرافی منطقه و رنگ رخمنون‌های پریدوتیتی که با رنگ خاکستری متمایل به سبز مشخص هستند. (B) سرپانتینی شدن تا چند سانتی‌متری ژرفای سنگ نفوذ کرده و در اطراف درزهای و شکستگی‌های ناشی از خرد و برشی شدن سنگ‌ها جایگزین شده است.

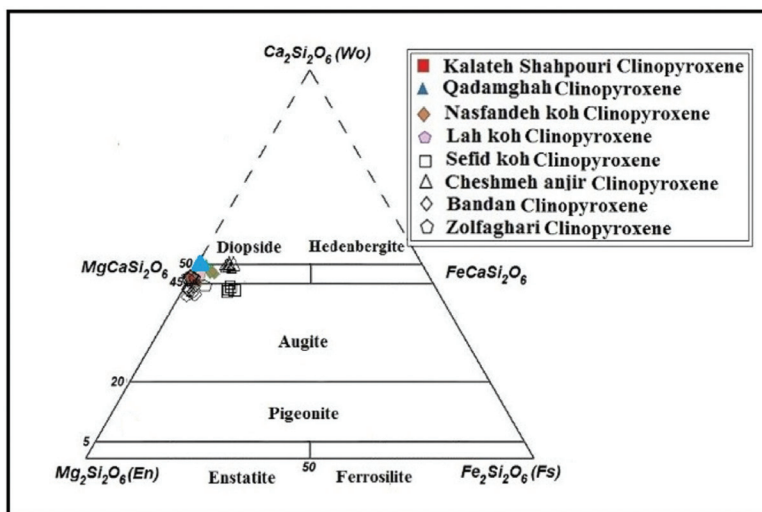
Figure 2- A) Regional topography and color of peridotite outcrops characterized by greenish gray color. B) Serpentization has penetrated to a few centimeters deep in the rock and has been replaced around the joints and fractures caused by rock crushing and shearing.

دیوپسید ($\text{En}_{46-51} \text{Fs}_{3-8} \text{Wo}_{45-50}$) محاسبه شد، هر چند کلینوپیروکسن‌های بندان و ناسفنه کوه در مرز بین محدوده دیوپسید و اوژیت قرار می‌گیرند (شکل ۳). اندازه کلینوپیروکسن‌ها به صورت دانه‌های مجرزا از کمتر از ۱ میلی‌متر تا دانه‌های بیشتر از ۳ میلی‌متر می‌رسند (شکل A-۴ و B). در این کانی، حاشیه‌های نامنظم و خلیجی مانند مشاهده می‌شوند (شکل C-۴ و D). از این پدیده می‌توان به عنوان شاهدی برای تبلور بین دانه‌ای کلینوپیروکسن در بین بلورهای ارتوپیروکسن و الیون، استفاده کرد. در بیشتر کلینوپیروکسن‌ها، مرکز کانی نسبت به حاشیه سالم تر و برای آنالیز مناسب تر هستند (شکل E-۴). غالباً در تیغه‌های جدایشی ارتوپیروکسن‌ها، قرار می‌گیرند. در برخی موارد نیز ادخال الیون در داخل آنها دیده می‌شود (شکل F-۴). در برخی موارد هم کلینوپیروکسن‌ها توسط الیون احاطه می‌شوند (شکل G-۴). اثرات دگرسانی به صورت باستیتی شدن در کلینوپیروکسن‌ها در مقایسه با ارتوپیروکسن‌ها سیار کمتر رخ می‌دهد و شواهد فشار و استربن در آنها نیز دیده می‌شود که اغلب به صورت خم شدگی کلیواژی خود را نشان می‌دهد (شکل H-۴). لیزربلیشن گرفته شده است و کلینوپیروکسن‌های مناطق مطالعه به ترتیب نشان داده شده است و نقاط آنالیز شده در آنها مشخص و شماره‌گذاری شده‌اند.

۲-۳- کارشناسی و سنگ‌نگاری کلینوپیروکسن‌ها

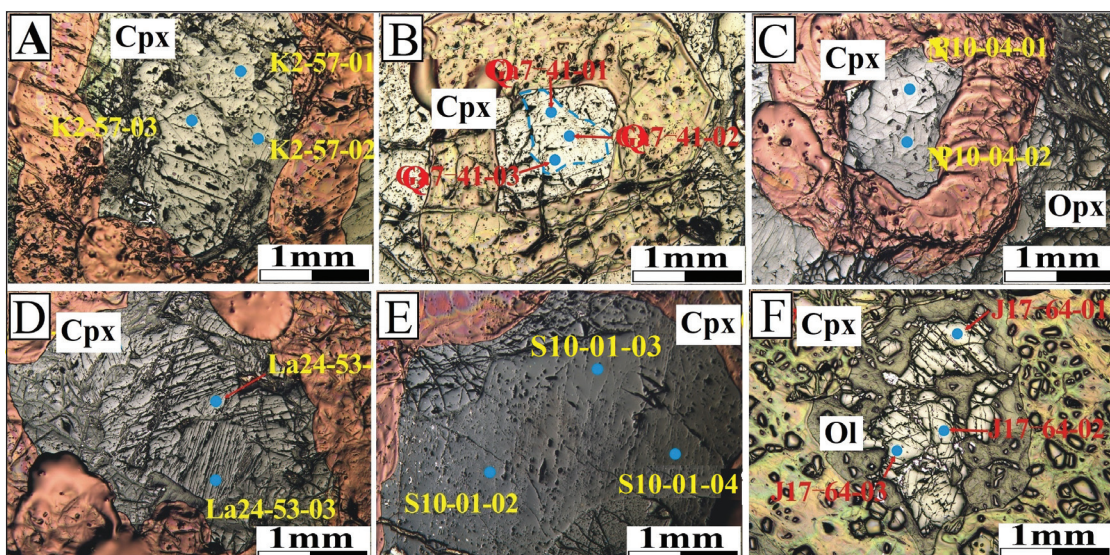
در مجموعه افیولیتی نهیندان سنگ‌های اولترامافیک شامل پریدوتیت‌هایی از نوع هارزبیورژیت و لرزولیت هستند (Karimzadeh et al., 2020). آنالیز مدار نمونه‌های میکروسکوپی بر اساس روش اشتراک‌آبایزن و روش لی‌بس (Streckeisen, 1979; Le Bas, 2000) در منطقه مورد مطالعه نشان می‌دهد که پریدوتیت‌های کلاته‌شاپوری، قدمگاه، لاه‌کوه، چشم‌هنجیر، بندان و زلفقاری از نوع هارزبیورژیت و مناطق سفیدکوه و ناسفنه کوه از نوع لرزولیت هستند. به طور کلی در پریدوتیت‌های مجموعه افیولیتی نهیندان میزان الیون بین ۸۹ تا ۷۰ درصد، ارتوپیروکسن ۱۰ تا ۳۰ درصد و کلینوپیروکسن از کمتر از ۱ درصد حجمی در هارزبیورژیت‌های کلاته‌شاپوری تا ۸ درصد حجمی در لرزولیت‌های سفیدکوه تغییر می‌کند. کروم-اسپینل یک فاز فرعی است که در بیشتر نمونه‌ها حضور داشته و مقدار حجمی آن معمولاً کمتر از ۲ درصد حجم سنگ کل است. در این مطالعه، تمرکز اصلی بر روی کانی کلینوپیروکسن موجود در پریدوتیت‌های مناطق مختلف مجموعه افیولیتی نهیندان است.

بر اساس بررسی عناصر اصلی در جدول ۱ و محاسبه فرمول کلینوپیروکسن‌ها، به روش دیر و همکاران (Deer et al., 2013)، نوع آنها در این مجموعه به طور عموم،



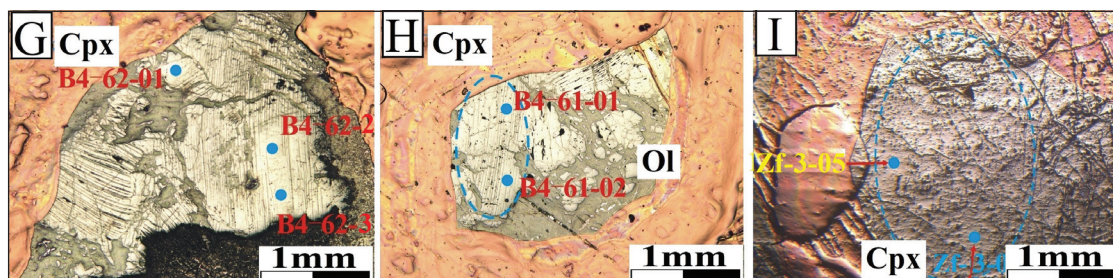
شکل ۳- نمودار طبقه‌بندی کلینوپیروکسن‌های موجود در پریدوتیت‌های کلاته‌شاپوری، قدمگاه، ناسفنده‌کوه، لاه‌کوه، سفید‌کوه، چشم‌هنجیر، بندان و زلفقاری (Deer et al., 2013)

Figure 3. Classification diagram of clinopyroxenes in Kalateh Shahpouri, Qadamgah, Nasfandeh- Kouh, Lah-Kouh, Sefid- Kouh, Cheshmeh anjir, Bandan and Zolfaghari peridotites (Deer et al., 2013).



شکل ۴- تصاویر میکروسکوپی کلینوپیروکسن‌های موجود در پریدوتیت‌های همه مناطق مجموعه افیولیتی نهباند که به ترتیب توسط دستگاه آنالیز لیزر ابیشن تهیه شده و نقاط آنالیز شده نیز در تصاویر مشخص هستند: (A) کلینوپیروکسن موجود در پریدوتیت منطقه کلاته‌شاپوری با طول بیشتر از ۳ میلی متر (نمونه K-2-57). (B) کلینوپیروکسن موجود در پریدوتیت منطقه قدمگاه با طول کمتر از ۱ میلی متر (نمونه Q-7-41). (C) حاشیه‌های نامنظم کلینوپیروکسن موجود در پریدوتیت منطقه ناسفنده کوه (نمونه N-10-4). (D) حاشیه‌های نامنظم کلینوپیروکسن موجود در پریدوتیت منطقه لاه‌کوه (نمونه La-24-53). (E) کلینوپیروکسن موجود در پریدوتیت منطقه سفید کوه که در آن مرکز نسبت به حاشیه سالم‌تر است (نمونه S-10-1). (F) کلینوپیروکسن موجود در پریدوتیت منطقه چشم‌هنجیر که در آن ادخال ایوین وجود دارد (نمونه J-17-64).

Figure 4. Microscopic images of clinopyroxenes in the peridotites of all areas of the Nehbandan ophiolite complex, respectively, prepared by the laser ablation analysis device, and the analyzed points are also clear in the images: A) Clinopyroxenes in the peridotites of the Kalateh Shahpouri area with a length of more than 3 mm (sample K-2-57). B) Clinopyroxene in the peridotite of the Qadamgah area with a length of less than 1 mm (sample Q-7-41). C) Irregular rims of clinopyroxene found in the peridotite of Nasfandeh- Kouh area (sample N-10-4). D) Irregular rims of clinopyroxene in peridotite of Lah-Kouh area (sample La-24-53). E) Clinopyroxene in the peridotite of Sefid- Kouh area where the center is healthier than the periphery (Sample S-10-1). F) Clinopyroxene in peridotite from the Cheshmeh anjir area, which contains olivine inclusions (sample J-17-64).



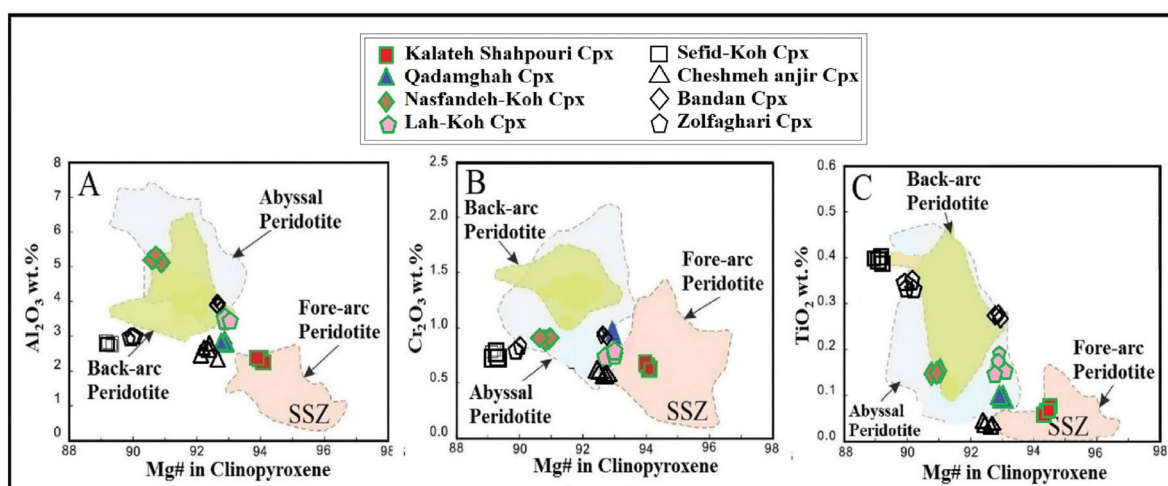
ادامه شکل ۴- G) شواهد فشار و استرین در کلینوپیروکسن موجود در پریدوتویت منطقه بندان (نمونه ۴-۶۲). H) کلینوپیروکسن توسط الیوین احاطه شده است (نمونه ۶۲-۰۲). I) خم شدگی کلینوپیروکسن موجود در پریدوتویت منطقه زلفقاری (نمونه Zf-1-3). (Zf-1-3=الیوین، Opx=اوتوپیروکسن، Cpx=کلینوپیروکسن).

Continued from Figure 4-G) Evidence of pressure in clinopyroxene from Bandan area peridotite (sample B-4-62). H) clinopyroxene surrounded by olivine (sample B-4-62). I) Cleavage bending of clinopyroxene in peridotite of Zolfaghari area (sample Zf-1-3). Abbreviations are adapted from Whitney and Evans (2010). (Ol= olivine, Opx= orthopyroxene, Cpx= clinopyroxene).

و در حوضه پشت قوس قرار می‌گیرند. ولی پریدوتویت‌های کلاله شاهپوری و چشمی از نوع بالای منطقه فروزانش (Supra-Subduction) بوده و در حوضه جلو قوس تشکیل شده‌اند. لازم به یادآوری است که میزان مولفه Cr_2O_3 کلینوپیروکسن‌های موجود در پریدوتویت‌های مناطق مختلف مجموعه افیولیتی نهیندان تقریباً برابر و در امتداد یک خط هستند (شکل ۵- B).

۳-۳- شیمی کانی عناصر اصلی کلینوپیروکسن‌ها

نتایج آنالیز شیمیابی عناصر اصلی کلینوپیروکسن‌ها در جدول ۱ نمایش داده شده است. از انتقال نتایج آنالیز شیمیابی کلینوپیروکسن‌ها در نمودارهای TiO_2 در برابر Al_2O_3 , Cr_2O_3 , $\text{Mg}^{\#}$ به صورت جداگانه (شکل ۵- C, B, A) مشخص می‌شود که پریدوتویت‌های قدماگاه، ناسفنه کوه، لاه کوه، بندان، زلفقاری و سفید کوه از نوع پریدوتویت‌های منطقه آیسال هستند



شکل ۵- (A) نمودار Al_2O_3 در برابر $\text{Mg}^{\#}$ و جایگاه زمین ساختی کلینوپیروکسن‌های موجود در پریدوتویت نهیندان. (B) نمودار Cr_2O_3 در برابر $\text{Mg}^{\#}$ و جایگاه زمین ساختی کلینوپیروکسن‌های موجود در پریدوتویت‌ها. (C) نمودار TiO_2 در برابر $\text{Mg}^{\#}$ و جایگاه زمین ساختی کلینوپیروکسن‌های موجود در پریدوتویت‌ها (Xiong et al., 2019).

Figure 5-A) Diagram of Al_2O_3 vs. $\text{Mg}^{\#}$ and tectonic setting of clinopyroxenes in peridotites of Nehbandan ophiolitic complex. B) Diagram of Cr_2O_3 vs. $\text{Mg}^{\#}$ and tectonic setting of clinopyroxenes in peridotites. C) Diagram of TiO_2 vs. $\text{Mg}^{\#}$ and tectonic setting of clinopyroxenes in peridotites (Xiong et al., 2019).

جدول ۱- نتایج آنالیز عناصر اصلی و ناسازگار کلینوپیروکسن‌های موجود در پریدوتیت‌های مجموعه افولیتی نهیاندان. (K= کلاته شاپوری، Q= قدمگاه، N= ناسفنده کوه، La= لاه کوه، S= سفید کوه، J= چشم‌انجیر، B= بندان، Zf= زلفقاری، Cpx= کلینوپیروکسن).

Table 1. Analysis results of major and incompatible elements of clinopyroxenes in peridotites of Nehbandan ophiolitic complex. (K= Kalateh Shahpouri, Q= Qadamgah, N= Nasfandeh- Kouh, La= Lah-Kouh, S= Safid- Kouh, J= Cheshmeh anjir, B= Bandan, Zf= Zolfaghari, Cpx= Clinopyroxene).

| No. | K-55-1 | K-55-2 | K-57-1 | K-57-2 | K-57-3 | Q-41-1 | Q-41-2 | Q-41-3 | Q-43-1 | N-47-1 |
|------------------------------------|--------|--------|--------|--------|--------|--------|--------|--------|--------|--------|
| Mineral | Cpx |
| SiO₂(wt.%) | 53.0 | 52.7 | 52.3 | 53.8 | 52.4 | 53.5 | 53.1 | 53.4 | 52.5 | 51.6 |
| TiO₂ | 0.05 | 0.056 | 0.053 | 0.041 | 0.054 | 0.10 | 0.098 | 0.089 | 0.094 | 0.099 |
| Al₂O₃ | 2.69 | 2.34 | 2.54 | 1.68 | 2.87 | 3.54 | 4.05 | 3.20 | 3.61 | 6.23 |
| FeO | 2.39 | 2.29 | 3.13 | 2.07 | 2.54 | 2.10 | 2.16 | 2.15 | 2.27 | 2.79 |
| MnO | 0.10 | 0.086 | 0.091 | 0.14 | 0.094 | 0.089 | 0.089 | 0.087 | 0.089 | 0.11 |
| MgO | 17.2 | 17.4 | 16.9 | 17.4 | 16.5 | 16.0 | 15.8 | 16.3 | 16.2 | 16.7 |
| CaO | 23.3 | 23.9 | 23.9 | 24.1 | 24.3 | 23.5 | 23.4 | 23.8 | 24.2 | 20.8 |
| Na₂O | 0.09 | 0.086 | 0.092 | 0.076 | 0.093 | 0.047 | 0.044 | 0.042 | 0.042 | 0.42 |
| K₂O | 0.00 | 0.00 | 0.00 | 0.00 | 0.00 | 0.00 | 0.00 | 0.00 | 0.00 | 0.01 |
| P₂O₅ | 0.01 | 0.01 | 0.01 | 0.01 | 0.01 | 0.00 | 0.01 | 0.01 | 0.01 | 0.00 |
| Total | 98.83 | 98.74 | 98.76 | 98.67 | 98.79 | 98.68 | 98.91 | 98.56 | 98.67 | 98.67 |
| Ni(ppm) | 399 | 334 | 370 | 326 | 368 | 368 | 371 | 365 | 362 | 397 |
| Sc | 53.9 | 59.82 | 51.87 | 52.40 | 54.72 | 59.69 | 58.99 | 57.97 | 60.29 | 50.50 |
| V | 188 | 188 | 178 | 141 | 189 | 247 | 258 | 229 | 246 | 246 |
| Rb | 0.09 | 0.20 | 0.00 | 0.01 | 0.07 | 0.00 | 0.04 | 0.14 | 0.11 | 0.41 |
| Cs | 0.02 | 0.06 | 0.06 | 0.00 | 0.23 | 0.00 | 0.03 | 0.00 | 0.01 | 0.35 |
| Ba | 0.05 | 0.74 | 0.03 | 0.10 | 0.20 | 0.09 | 0.11 | 0.00 | 0.03 | 0.04 |
| Sr | 0.12 | 0.20 | 0.17 | 0.19 | 0.16 | 0.05 | 0.03 | 0.08 | 0.05 | 0.45 |
| Nb | 0.00 | 0.01 | 0.02 | 0.01 | 0.00 | 0.00 | 0.00 | 0.00 | 0.01 | 0.01 |
| Hf | 0.01 | 0.00 | 0.03 | 0.03 | 0.03 | 0.01 | 0.04 | 0.02 | 0.03 | 0.29 |
| Zr | 0.33 | 0.35 | 0.24 | 0.34 | 0.36 | 0.15 | 0.16 | 0.12 | 0.14 | 1.65 |
| Ti | 500 | 560 | 530 | 410 | 540 | 1000 | 980 | 890 | 940 | 990 |
| Y | 3.42 | 3.47 | 3.57 | 2.33 | 3.79 | 4.96 | 5.58 | 4.83 | 4.92 | 12.08 |
| Th | 0.01 | 0.00 | 0.01 | 0.02 | 0.02 | 0.01 | 0.02 | 0.02 | 0.03 | 0.00 |
| U | 0.01 | 0.00 | 0.02 | 0.00 | 0.01 | 0.03 | 0.02 | 0.03 | 0.04 | 0.04 |
| La | 0.04 | 0.04 | 0.04 | 0.05 | 0.06 | 0.06 | 0.06 | 0.04 | 0.04 | 0.05 |
| Ce | 0.03 | 0.00 | 0.01 | 0.00 | 0.03 | 0.00 | 0.00 | 0.01 | 0.00 | 0.04 |
| Pr | 0.01 | 0.02 | 0.01 | 0.01 | 0.01 | 0.03 | 0.02 | 0.01 | 0.05 | 0.05 |
| Nd | 0.05 | 0.04 | 0.02 | 0.02 | 0.00 | 0.02 | 0.00 | 0.00 | 0.04 | 0.62 |
| Sm | 0.04 | 0.06 | 0.02 | 0.04 | 0.09 | 0.05 | 0.05 | 0.00 | 0.02 | 0.85 |
| Eu | 0.03 | 0.03 | 0.04 | 0.02 | 0.04 | 0.01 | 0.06 | 0.04 | 0.06 | 0.33 |
| Gd | 0.09 | 0.22 | 0.26 | 0.15 | 0.11 | 0.30 | 0.39 | 0.34 | 0.29 | 1.75 |
| Tb | 0.05 | 0.04 | 0.04 | 0.05 | 0.05 | 0.08 | 0.09 | 0.08 | 0.10 | 0.29 |
| Dy | 0.52 | 0.57 | 0.57 | 0.40 | 0.60 | 0.89 | 0.94 | 0.82 | 0.61 | 2.37 |
| Ho | 0.13 | 0.14 | 0.14 | 0.08 | 0.14 | 0.22 | 0.22 | 0.18 | 0.22 | 0.57 |
| Er | 0.40 | 0.46 | 0.38 | 0.21 | 0.39 | 0.63 | 0.77 | 0.79 | 0.80 | 1.31 |
| Tm | 0.07 | 0.09 | 0.07 | 0.06 | 0.05 | 0.06 | 0.12 | 0.10 | 0.11 | 0.21 |
| Yb | 0.49 | 0.33 | 0.44 | 0.24 | 0.45 | 0.65 | 0.81 | 0.56 | 0.73 | 1.41 |
| Lu | 0.04 | 0.09 | 0.04 | 0.02 | 0.09 | 0.08 | 0.15 | 0.10 | 0.14 | 0.17 |
| Pb | 0.11 | 0.00 | 0.17 | 0.09 | 0.00 | 0.00 | 0.12 | 0.11 | 0.07 | |

Continued from Table 1

| No. | N-47-2 | N-47-3 | N-50-1 | N-50-2 | N-50-3 | N-4-1 | La-19-1 | La-19-2 | La-19-4 | La-20-1 |
|------------------------------------|--------|--------|--------|--------|--------|-------|---------|---------|---------|---------|
| Mineral | Cpx | Cpx | Cpx | Cpx | Cpx | Cpx | Cpx | Cpx | Cpx | Cpx |
| SiO₂(wt.%) | 51.4 | 51.2 | 51.0 | 51.4 | 50.7 | 53.2 | 51.9 | 51.7 | 50.7 | 50.5 |
| TiO₂ | 0.15 | 0.16 | 0.15 | 0.18 | 0.14 | 0.17 | 0.18 | 0.19 | 0.19 | 0.18 |
| Al₂O₃ | 6.30 | 6.38 | 5.96 | 5.54 | 6.57 | 6.10 | 5.18 | 5.10 | 5.99 | 5.11 |
| FeO | 2.96 | 2.79 | 2.81 | 2.59 | 2.70 | 2.27 | 2.24 | 2.27 | 2.48 | 3.54 |
| MnO | 0.11 | 0.11 | 0.11 | 0.099 | 0.11 | 0.092 | 0.10 | 0.10 | 0.09 | 0.14 |
| MgO | 16.4 | 16.6 | 17.3 | 15.7 | 16.9 | 14.9 | 15.4 | 16.2 | 19.1 | 19.0 |
| CaO | 21.1 | 21.1 | 21.1 | 23.0 | 21.2 | 21.0 | 23.5 | 23.0 | 19.8 | 20.3 |
| Na₂O | 0.38 | 0.40 | 0.40 | 0.39 | 0.40 | 0.83 | 0.32 | 0.32 | 0.32 | 0.23 |
| K₂O | 0.00 | 0.01 | 0.00 | 0.00 | 0.00 | 0.00 | 0.00 | 0.00 | 0.11 | 0.01 |
| P₂O₅ | 0.01 | 0.01 | 0.01 | 0.00 | 0.01 | 0.00 | 0.00 | 0.00 | 0.01 | 0.01 |
| Total | 98.71 | 98.66 | 99.88 | 98.73 | 98.76 | 98.68 | 98.87 | 98.74 | 98.68 | 98.97 |
| Ni(ppm) | 386 | 380 | 392 | 375 | 376 | 357 | 385 | 370 | 345 | 355 |
| Sc | 52.51 | 52.54 | 50.73 | 56.37 | 48.89 | 55.97 | 56.70 | 53.76 | 42.63 | 50.36 |
| V | 248 | 249 | 241 | 258 | 246 | 249 | 251 | 240 | 236 | 230 |
| Rb | 0.00 | 0.43 | 0.20 | 0.09 | 0.20 | 0.07 | 0.20 | 0.00 | 2.12 | 0.26 |
| Cs | 0.00 | 0.32 | 0.05 | 0.00 | 0.08 | 0.00 | 0.10 | 0.13 | 1.49 | 0.61 |
| Ba | 0.04 | 0.05 | 0.04 | 0.00 | 0.07 | 0.08 | 0.00 | 0.19 | 0.51 | 0.45 |
| Sr | 0.49 | 0.59 | 0.50 | 0.59 | 0.52 | 0.53 | 0.23 | 0.20 | 0.31 | 0.28 |
| Nb | 0.01 | 0.00 | 0.01 | 0.01 | 0.01 | 0.01 | 0.00 | 0.01 | 0.00 | 0.00 |
| Hf | 0.35 | 0.21 | 0.13 | 0.24 | 0.25 | 0.60 | 0.17 | 0.21 | 0.17 | 0.06 |
| Zr | 1.77 | 2.41 | 2.04 | 2.15 | 2.62 | 2.48 | 1.25 | 0.89 | 0.27 | 0.60 |
| Ti | 1500 | 1600 | 1500 | 1800 | 1400 | 1700 | 1800 | 1900 | 1900 | 1800 |
| Y | 13.56 | 12.20 | 12.74 | 12.44 | 12.87 | 14.10 | 12.62 | 12.16 | 10.89 | 9.14 |
| Th | 0.01 | 0.01 | 0.00 | 0.00 | 0.01 | 0.00 | 0.00 | 0.00 | 0.00 | 0.00 |
| U | 0.05 | 0.00 | 0.01 | 0.01 | 0.00 | 0.00 | 0.01 | 0.01 | 0.01 | 0.03 |
| La | 0.02 | 0.01 | 0.00 | 0.00 | 0.00 | 0.04 | 0.00 | 0.01 | 0.02 | 0.00 |
| Ce | 0.04 | 0.06 | 0.07 | 0.05 | 0.06 | 0.56 | 0.01 | 0.01 | 0.03 | 0.02 |
| Pr | 0.05 | 0.06 | 0.06 | 0.05 | 0.05 | 0.20 | 0.02 | 0.02 | 0.02 | 0.00 |
| Nd | 0.79 | 0.56 | 0.60 | 0.65 | 0.78 | 1.70 | 0.25 | 0.29 | 0.36 | 0.48 |
| Sm | 0.79 | 0.61 | 0.65 | 0.71 | 0.80 | 0.96 | 0.42 | 0.43 | 0.39 | 0.39 |
| Eu | 0.39 | 0.34 | 0.29 | 0.40 | 0.33 | 0.40 | 0.20 | 0.22 | 0.22 | 0.15 |
| Gd | 1.48 | 1.59 | 1.66 | 1.42 | 1.81 | 2.05 | 1.35 | 1.36 | 0.96 | 1.17 |
| Tb | 0.28 | 0.30 | 0.35 | 0.30 | 0.25 | 0.31 | 0.30 | 0.21 | 0.32 | 0.16 |
| Dy | 2.21 | 1.86 | 2.09 | 2.13 | 2.44 | 2.27 | 2.03 | 1.79 | 1.69 | 1.56 |
| Ho | 0.49 | 0.43 | 0.49 | 0.47 | 0.54 | 0.58 | 0.42 | 0.47 | 0.43 | 0.39 |
| Er | 1.51 | 1.34 | 1.45 | 1.42 | 1.42 | 1.37 | 1.39 | 1.37 | 1.10 | 1.10 |
| Tm | 0.25 | 0.15 | 0.21 | 0.20 | 0.23 | 0.21 | 0.22 | 0.16 | 0.23 | 0.18 |
| Yb | 1.63 | 1.51 | 1.67 | 1.10 | 1.25 | 1.44 | 1.35 | 1.22 | 1.08 | 0.97 |
| Lu | 0.26 | 0.20 | 0.18 | 0.21 | 0.16 | 0.21 | 0.18 | 0.21 | 0.18 | 0.14 |
| Pb | 0.06 | 0.03 | 0.09 | 0.09 | 0.09 | 0.07 | 0.00 | 0.00 | 0.15 | 0.04 |

Continued from Table 1

| No. | La-2-5 | La-2-6 | La-2-1 | La-2-2 | La-3-1 | La-3-2 | La-3-3 | S-1-1 | S-1-2 | S-1-3 |
|------------------------------------|--------|--------|--------|--------|--------|--------|--------|-------|-------|-------|
| Mineral | Cpx | Cpx | Cpx | Cpx |
| SiO₂(wt.%) | 50.7 | 51.5 | 52.5 | 52.0 | 51.6 | 51.0 | 49.6 | 53.5 | 53.4 | 53.8 |
| TiO₂ | 0.20 | 0.21 | 0.22 | 0.18 | 0.17 | 0.18 | 0.15 | 0.44 | 0.32 | 0.38 |
| Al₂O₃ | 5.96 | 5.49 | 3.82 | 4.50 | 4.59 | 4.99 | 4.78 | 2.47 | 2.33 | 2.41 |
| FeO | 2.39 | 2.18 | 2.22 | 2.19 | 2.18 | 2.13 | 4.48 | 5.39 | 6.34 | 5.46 |
| MnO | 0.10 | 0.09 | 0.08 | 0.08 | 0.08 | 0.08 | 0.08 | 0.18 | 0.18 | 0.18 |
| MgO | 20.2 | 16.2 | 15.6 | 16.1 | 17.8 | 16.3 | 19.6 | 16.1 | 15.8 | 16.5 |
| CaO | 18.7 | 22.9 | 24.4 | 23.7 | 22.4 | 23.9 | 19.9 | 21.0 | 20.6 | 20.3 |
| Na₂O | 0.29 | 0.33 | 0.10 | 0.14 | 0.10 | 0.15 | 0.12 | 0.27 | 0.42 | 0.37 |
| K₂O | 0.27 | 0.00 | 0.00 | 0.00 | 0.01 | 0.00 | 0.01 | 0.00 | 0.02 | 0.01 |
| P₂O₅ | 0.01 | 0.01 | 0.00 | 0.01 | 0.01 | 0.01 | 0.01 | 0.01 | 0.01 | 0.01 |
| Total | 98.98 | 98.96 | 98.79 | 98.81 | 98.76 | 98.76 | 98.86 | 98.36 | 98.40 | 98.70 |
| Ni(ppm) | 396 | 335 | 300 | 323 | 301 | 327 | 304 | 201 | 334 | 236 |
| Sc | 44.75 | 49.78 | 73.27 | 63.21 | 61.93 | 58.30 | 50.47 | 102.4 | 94.65 | 99.99 |
| V | 44.75 | 49.78 | 73.27 | 63.21 | 61.93 | 58.30 | 50.47 | 102.4 | 94.65 | 99.99 |
| Rb | 232 | 246 | 274 | 267 | 261 | 267 | 244 | 368 | 338 | 363 |
| Cs | 4.30 | 0.25 | 0.04 | 0.03 | 0.40 | 0.07 | 0.64 | 0.00 | 0.05 | 0.06 |
| Ba | 1.23 | 0.21 | 0.00 | 0.00 | 0.16 | 0.08 | 0.29 | 0.06 | 3.37 | 3.66 |
| Sr | 0.22 | 0.26 | 0.29 | 0.22 | 0.48 | 0.48 | 0.49 | 9.15 | 9.92 | 8.86 |
| Nb | 0.00 | 0.00 | 0.01 | 0.01 | 0.00 | 0.00 | 0.01 | 0.00 | 0.02 | 0.00 |
| Hf | 0.15 | 0.11 | 0.12 | 0.08 | 0.05 | 0.07 | 0.05 | 0.43 | 0.24 | 0.42 |
| Zr | 0.98 | 0.84 | 0.72 | 0.58 | 0.35 | 0.31 | 0.36 | 9.27 | 5.75 | 5.73 |
| Ti | 2000 | 2100 | 2200 | 1800 | 1700 | 1800 | 1500 | 4400 | 3200 | 3800 |
| Y | 11.32 | 12.68 | 10.23 | 9.10 | 9.50 | 10.33 | 8.36 | 16.14 | 13.69 | 14.04 |
| Th | 0.00 | 0.00 | 0.00 | 0.00 | 0.00 | 0.00 | 0.00 | 0.06 | 0.15 | 0.11 |
| U | 0.03 | 0.04 | 0.00 | 0.04 | 0.05 | 0.04 | 0.00 | 0.00 | 0.05 | 0.05 |
| La | 0.00 | 0.05 | 0.00 | 0.00 | 0.04 | 0.00 | 0.01 | 0.37 | 0.36 | 0.30 |
| Ce | 0.04 | 0.03 | 0.01 | 0.04 | 0.04 | 0.00 | 0.00 | 1.55 | 1.20 | 1.26 |
| Pr | 0.02 | 0.03 | 0.01 | 0.00 | 0.00 | 0.00 | 0.00 | 0.38 | 0.31 | 0.27 |
| Nd | 0.39 | 0.37 | 0.02 | 0.08 | 0.02 | 0.10 | 0.04 | 0.83 | 1.00 | 1.20 |
| Sm | 0.47 | 0.64 | 0.07 | 0.25 | 0.11 | 0.29 | 0.16 | 1.45 | 0.82 | 1.33 |
| Eu | 0.25 | 0.27 | 0.13 | 0.08 | 0.17 | 0.17 | 0.21 | 0.38 | 0.40 | 0.48 |
| Gd | 1.18 | 1.44 | 0.91 | 0.61 | 0.88 | 0.96 | 0.45 | 2.72 | 2.01 | 1.82 |
| Tb | 0.24 | 0.27 | 0.20 | 0.22 | 0.21 | 0.18 | 0.16 | 0.51 | 0.35 | 0.43 |
| Dy | 1.62 | 2.06 | 1.77 | 1.65 | 1.49 | 2.01 | 1.62 | 3.37 | 2.84 | 2.86 |
| Ho | 0.47 | 0.56 | 0.38 | 0.40 | 0.33 | 0.40 | 0.35 | 0.70 | 0.54 | 0.56 |
| Er | 1.20 | 1.41 | 1.13 | 1.11 | 0.95 | 1.20 | 0.92 | 1.71 | 1.45 | 1.70 |
| Tm | 0.24 | 0.23 | 0.15 | 0.22 | 0.20 | 0.18 | 0.18 | 0.28 | 0.20 | 0.25 |
| Yb | 1.19 | 1.59 | 1.33 | 1.05 | 1.18 | 1.41 | 0.93 | 1.79 | 1.45 | 1.17 |
| Lu | 0.18 | 0.16 | 0.21 | 0.15 | 0.22 | 0.22 | 0.13 | 0.19 | 0.21 | 0.21 |
| Pb | 0.00 | 0.00 | 0.03 | 0.00 | 0.00 | 0.00 | 0.00 | 0.16 | 0.32 | 0.13 |

Continued from Table 1

| No. | S-3-1 | S-3-2 | B-61-1 | B-61-2 | B-62-1 | B-62-2 | B-62-3 | J-4-1 | J-4-2 | J-4-3 |
|------------------------------------|-------|-------|--------|--------|--------|--------|--------|-------|-------|-------|
| Mineral | Cpx | Cpx | Cpx | Cpx | Cpx | Cpx | Cpx | Cpx | Cpx | Cpx |
| SiO₂(wt.%) | 53.2 | 53.5 | 50.6 | 51.1 | 52.1 | 52.0 | 51.3 | 54.0 | 54.1 | 53.9 |
| TiO₂ | 0.33 | 0.27 | 0.14 | 0.14 | 0.15 | 0.14 | 0.14 | 0.032 | 0.030 | 0.032 |
| Al₂O₃ | 2.81 | 2.83 | 6.06 | 5.90 | 5.78 | 6.19 | 6.16 | 2.53 | 2.42 | 2.51 |
| FeO | 4.83 | 4.95 | 2.78 | 2.86 | 2.66 | 3.28 | 3.19 | 2.16 | 2.42 | 2.13 |
| MnO | 0.16 | 0.16 | 0.11 | 0.11 | 0.11 | 0.12 | 0.12 | 0.084 | 0.085 | 0.086 |
| MgO | 16.3 | 16.0 | 18.4 | 18.3 | 16.8 | 18.0 | 17.6 | 16.6 | 17.5 | 16.6 |
| CaO | 21.4 | 21.1 | 20.2 | 20.0 | 21.0 | 18.7 | 19.8 | 23.6 | 22.5 | 23.7 |
| Na₂O | 0.23 | 0.24 | 0.18 | 0.17 | 0.17 | 0.16 | 0.16 | 0.044 | 0.040 | 0.044 |
| K₂O | 0.00 | 0.00 | 0.13 | 0.06 | 0.01 | 0.00 | 0.04 | 0.00 | 0.00 | 0.00 |
| P₂O₅ | 0.01 | 0.01 | 0.00 | 0.00 | 0.01 | 0.01 | 0.01 | 0.01 | 0.01 | 0.01 |
| Total | 98.50 | 98.66 | 98.67 | 98.78 | 99.14 | 98.37 | 98.63 | 98.86 | 98.41 | 98.78 |
| Ni(ppm) | 220 | 202 | 435 | 431 | 395 | 480 | 475 | 384 | 362 | 377 |
| Sc | 91.59 | 87.12 | 41.85 | 41.39 | 47.69 | 38.86 | 39.23 | 59.09 | 56.44 | 56.88 |
| V | 326 | 300 | 225 | 230 | 240 | 230 | 225 | 201 | 193 | 203 |
| Rb | 0.24 | 0.01 | 6.57 | 3.16 | 0.43 | 0.00 | 2.63 | 0.05 | 0.09 | 0.06 |
| Cs | 0.02 | 0.00 | 3.01 | 2.07 | 0.11 | 0.27 | 1.93 | 0.00 | 0.00 | 0.00 |
| Ba | 0.84 | 0.00 | 1.14 | 1.07 | 0.07 | 0.27 | 1.56 | 0.00 | 0.00 | 0.04 |
| Sr | 8.83 | 9.27 | 0.54 | 0.64 | 0.69 | 0.45 | 0.81 | 0.15 | 0.41 | 0.25 |
| Nb | 0.01 | 0.00 | 0.02 | 0.00 | 0.00 | 0.01 | 0.00 | 0.02 | 0.01 | 0.00 |
| Hf | 0.30 | 0.19 | 0.05 | 0.10 | 0.09 | 0.08 | 0.05 | 0.01 | 0.00 | 0.00 |
| Zr | 4.53 | 2.92 | 0.17 | 0.19 | 0.22 | 0.18 | 0.18 | 0.18 | 0.19 | 0.17 |
| Ti | 3300 | 2700 | 1400 | 1400 | 1500 | 1400 | 1400 | 320 | 300 | 320 |
| Y | 9.77 | 7.55 | 7.78 | 8.39 | 9.31 | 7.99 | 7.90 | 1.61 | 1.53 | 1.59 |
| Th | 0.00 | 0.03 | 0.01 | 0.06 | 0.15 | 0.02 | 0.06 | 0.15 | 0.01 | 0.06 |
| U | 0.00 | 0.02 | 0.00 | 0.01 | 0.03 | 0.03 | 0.03 | 0.04 | 0.05 | 0.06 |
| La | 0.13 | 0.14 | 0.05 | 0.04 | 0.02 | 0.03 | 0.02 | 0.01 | 0.03 | 0.01 |
| Ce | 0.57 | 0.55 | 0.03 | 0.02 | 0.02 | 0.01 | 0.01 | 0.01 | 0.03 | 0.00 |
| Pr | 0.15 | 0.13 | 0.02 | 0.01 | 0.01 | 0.00 | 0.01 | 0.00 | 0.05 | 0.05 |
| Nd | 1.26 | 1.06 | 0.17 | 0.26 | 0.19 | 0.11 | 0.31 | 0.00 | 0.02 | 0.03 |
| Sm | 0.75 | 0.47 | 0.32 | 0.19 | 0.28 | 0.40 | 0.12 | 0.00 | 0.00 | 0.00 |
| Eu | 0.33 | 0.22 | 0.25 | 0.11 | 0.10 | 0.10 | 0.11 | 0.00 | 0.03 | 0.03 |
| Gd | 1.36 | 0.96 | 0.67 | 0.73 | 0.91 | 0.75 | 0.89 | 0.02 | 0.00 | 0.03 |
| Tb | 0.26 | 0.20 | 0.17 | 0.21 | 0.22 | 0.15 | 0.20 | 0.01 | 0.03 | 0.01 |
| Dy | 2.01 | 1.31 | 1.10 | 1.40 | 1.27 | 1.37 | 1.17 | 0.16 | 0.17 | 0.19 |
| Ho | 0.39 | 0.31 | 0.38 | 0.37 | 0.42 | 0.32 | 0.31 | 0.07 | 0.06 | 0.06 |
| Er | 1.18 | 0.90 | 1.20 | 0.96 | 1.08 | 0.92 | 0.84 | 0.22 | 0.18 | 0.16 |
| Tm | 0.16 | 0.09 | 0.16 | 0.13 | 0.17 | 0.13 | 0.18 | 0.07 | 0.04 | 0.06 |
| Yb | 0.93 | 0.82 | 0.92 | 1.13 | 1.03 | 0.79 | 0.79 | 0.38 | 0.21 | 0.42 |
| Lu | 0.15 | 0.11 | 0.16 | 0.17 | 0.13 | 0.14 | 0.13 | 0.05 | 0.06 | 0.06 |
| Pb | 0.16 | 0.00 | 0.00 | 0.00 | 0.04 | 0.21 | 0.10 | 0.09 | 0.09 | 0.16 |

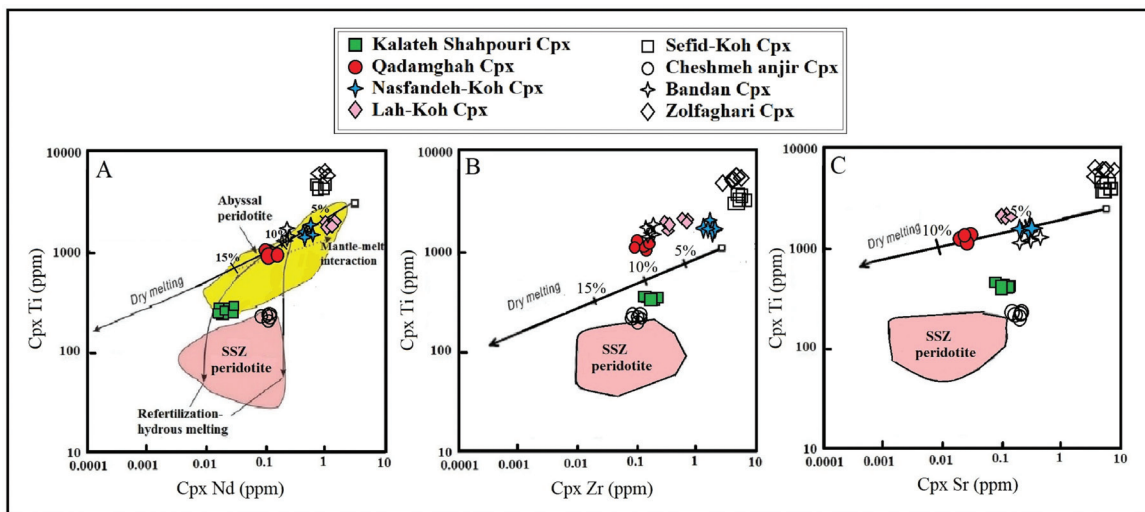
Continued from Table 1

| No. | J-7-1 | J-1-2 | J-1-3 | J-3-1 | J-3-2 | Zf-1-1 | Zf-1-2 | Zf-1-3 | Zf-3-1 | Zf-3-2 |
|------------------------------------|-------|-------|-------|-------|-------|--------|--------|--------|--------|--------|
| Mineral | Cpx | Cpx | Cpx | Cpx | Cpx | Cpx | Cpx | Cpx | Cpx | Cpx |
| SiO₂(wt.%) | 53.3 | 53.5 | 53.4 | 52.9 | 53.6 | 53.5 | 53.4 | 53.9 | 53.2 | 53.4 |
| TiO₂ | 0.030 | 0.039 | 0.038 | 0.037 | 0.036 | 0.44 | 0.32 | 0.38 | 0.33 | 0.28 |
| Al₂O₃ | 2.72 | 2.66 | 2.92 | 2.93 | 2.62 | 2.47 | 2.33 | 2.41 | 2.81 | 2.84 |
| FeO | 2.36 | 2.35 | 2.45 | 2.59 | 2.39 | 5.39 | 6.34 | 5.46 | 4.83 | 4.96 |
| MnO | 0.090 | 0.085 | 0.086 | 0.091 | 0.080 | 0.18 | 0.18 | 0.18 | 0.16 | 0.16 |
| MgO | 17.1 | 16.5 | 16.5 | 17.2 | 16.6 | 16.1 | 15.8 | 16.6 | 16.3 | 16.1 |
| CaO | 23.4 | 23.6 | 23.3 | 22.8 | 23.3 | 21.0 | 20.6 | 20.3 | 21.5 | 21.1 |
| Na₂O | 0.036 | 0.30 | 0.29 | 0.31 | 0.31 | 0.27 | 0.42 | 0.38 | 0.23 | 0.24 |
| K₂O | 0.00 | 0.00 | 0.00 | 0.00 | 0.00 | 0.00 | 0.02 | 0.01 | 0.00 | 0.00 |
| P₂O₅ | 0.00 | 0.01 | 0.01 | 0.00 | 0.01 | 0.01 | 0.01 | 0.01 | 0.01 | 0.01 |
| Total | 99.09 | 98.76 | 98.52 | 98.65 | 98.97 | 98.68 | 98.61 | 98.71 | 98.51 | 98.57 |
| Ni(ppm) | 401 | 391 | 391 | 382 | 366 | 201 | 334 | 236 | 220 | 202 |
| Sc | 56.95 | 68.34 | 69.36 | 62.31 | 69.62 | 102.4 | 94.65 | 99.99 | 91.59 | 87.12 |
| V | 200 | 219 | 230 | 218 | 218 | 368 | 338 | 363 | 326 | 300 |
| Rb | 0.00 | 0.03 | 0.00 | 0.06 | 0.00 | 0.01 | 0.41 | 0.07 | 0.24 | 0.01 |
| Cs | 0.02 | 0.04 | 0.00 | 0.05 | 0.00 | 0.00 | 0.05 | 0.06 | 0.02 | 0.00 |
| Ba | 0.05 | 0.06 | 0.06 | 0.00 | 0.14 | 0.06 | 3.37 | 3.66 | 0.84 | 0.00 |
| Sr | 0.13 | 4.44 | 4.63 | 4.19 | 3.84 | 9.15 | 9.92 | 8.86 | 8.83 | 9.27 |
| Nb | 0.00 | 0.04 | 0.03 | 0.04 | 0.03 | 0.00 | 0.02 | 0.00 | 0.01 | 0.00 |
| Hf | 0.00 | 0.00 | 0.02 | 0.01 | 0.00 | 0.43 | 0.24 | 0.42 | 0.30 | 0.19 |
| Zr | 0.18 | 0.19 | 0.17 | 1.33 | 0.00 | 9.27 | 5.75 | 5.73 | 4.53 | 5.92 |
| Ti | 300 | 390 | 380 | 370 | 360 | 4400 | 3200 | 3800 | 3300 | 2800 |
| Y | 1.60 | 1.81 | 1.86 | 1.50 | 1.61 | 16.14 | 13.69 | 14.04 | 9.77 | 7.55 |
| Th | 0.15 | 0.01 | 0.06 | 0.02 | 0.01 | 0.06 | 0.15 | 0.11 | 0.00 | 0.03 |
| U | 0.05 | 0.03 | 0.03 | 0.02 | 0.00 | 0.00 | 0.05 | 0.05 | 0.00 | 0.02 |
| La | 0.00 | 0.16 | 0.13 | 0.08 | 0.11 | 0.37 | 0.36 | 0.30 | 0.13 | 0.14 |
| Ce | 0.00 | 0.33 | 0.28 | 0.21 | 0.19 | 1.55 | 1.20 | 1.26 | 0.57 | 0.55 |
| Pr | 0.00 | 0.06 | 0.02 | 0.03 | 0.03 | 0.38 | 0.31 | 0.27 | 0.15 | 0.13 |
| Nd | 0.00 | 0.16 | 0.14 | 0.10 | 0.10 | 1.03 | 1.07 | 1.20 | 1.06 | 1.01 |
| Sm | 0.00 | 0.08 | 0.06 | 0.02 | 0.05 | 1.45 | 0.82 | 1.33 | 0.75 | 0.47 |
| Eu | 0.02 | 0.05 | 0.02 | 0.01 | 0.02 | 0.38 | 0.40 | 0.48 | 0.33 | 0.22 |
| Gd | 0.00 | 0.02 | 0.10 | 0.11 | 0.00 | 2.72 | 2.01 | 1.82 | 1.36 | 0.96 |
| Tb | 0.01 | 0.02 | 0.02 | 0.02 | 0.01 | 0.51 | 0.35 | 0.43 | 0.26 | 0.20 |
| Dy | 0.11 | 0.21 | 0.16 | 0.08 | 0.22 | 3.37 | 2.84 | 2.86 | 2.01 | 1.31 |
| Ho | 0.05 | 0.06 | 0.09 | 0.08 | 0.07 | 0.70 | 0.54 | 0.56 | 0.39 | 0.31 |
| Er | 0.22 | 0.16 | 0.30 | 0.17 | 0.22 | 1.71 | 1.45 | 1.70 | 1.18 | 0.90 |
| Tm | 0.04 | 0.05 | 0.03 | 0.03 | 0.05 | 0.28 | 0.20 | 0.25 | 0.16 | 0.09 |
| Yb | 0.38 | 0.41 | 0.41 | 0.38 | 0.32 | 1.79 | 1.45 | 1.17 | 0.93 | 0.82 |
| Lu | 0.06 | 0.04 | 0.04 | 0.05 | 0.04 | 0.19 | 0.21 | 0.21 | 0.15 | 0.11 |
| Pb | 0.00 | 0.08 | 0.15 | 0.00 | 0.00 | 0.16 | 0.32 | 0.13 | 0.16 | 0.00 |

از نظر درجه ذوب بخشی نیز باید گفت که پریدوتیت‌های کلاطه شاهپوری و چشمۀ انجیر که از نوع بالای منطقه فروزانش هستند، بیشترین میزان درجه ذوب بخشی که در حدود ۱۵ تا ۱۵ درصد و پریدوتیت‌های سفیدکوه و زلفقاری هم کمترین میزان درجه ذوب بخشی، یعنی در حدود ۱ تا ۳ درصد را نشان می‌دهند. پریدوتیت‌های بقیه مناطق، مانند قدمگاه، لاهکوه، ناسفندکوه و بندان هم که از نوع منطقه آبیسال هستند، درجه ذوب بخشی در حدود ۵ تا ۱۱ درصد است که حد وسط بین این دو گروه می‌باشد (شکل ۶).

۴-۳- شیمی کانی عناصر کمیاب کلینوپیروکسن‌ها

نتایج آنالیز شیمیایی عناصر کمیاب کلینوپیروکسن‌ها در جدول ۱ آورده شده است. در بررسی نتایج آنالیز شیمیایی عناصر کمیاب کلینوپیروکسن‌ها و انتقال آنها به نمودارهای Ti/Zr در برابر Nd و Sr به طور جداگانه معلوم می‌شود که به جز پریدوتیت‌های کلاطه شاهپوری و چشمۀ انجیر که از نوع بالای منطقه فروزانش هستند. بقیه پریدوتیت‌های مجموعه افیولیتی نهندان مانند قدمگاه، ناسفندکوه، لاهکوه، سفیدکوه، بندان و زلفقاری از نوع منطقه آبیسال می‌باشند (شکل ۶).



(A) نمودار Ti/Nd در برابر Nd و جایگاه زمین ساختی کلینوپیروکسن‌های موجود در پریدوتیت‌های مختلف مناطق مجموعه افیولیتی نهندان (Bizimis et al., 2000).
(B) نمودار Ti/Zr در برابر Zr و جایگاه زمین ساختی کلینوپیروکسن‌های موجود در پریدوتیت‌ها (Gornova et al., 2020).
(C) نمودار Ti/Sr در برابر Sr و جایگاه زمین ساختی کلینوپیروکسن‌های موجود در پریدوتیت‌ها (Gornova et al., 2020).

Figure 6- A) Ti vs. Nd diagram and tectonic setting of clinopyroxenes in peridotites of Nehbandan ophiolitic complex (Bizimis et al., 2000). B) T vs. Zr diagram and tectonic setting of clinopyroxenes in peridotites (Gornova et al., 2020). C) Ti vs. Sr diagram and tectonic setting of clinopyroxenes in peridotites (Gornova et al., 2020).

و Lu نیز غنی شدگی نشان می‌دهند. ولی در مناطق کلاطه شاهپوری و چشمۀ انجیر، عناصر گروه دوم نیز تاحدودی تهی شده هستند (شکل ۷- A و F)

۶-۳- نمودارهای عنکبوتی بهنجارشده نسبت کندریت در کلینوپیروکسن‌ها
عنصر نادر خاکی، عناصر بسیار با ارزش نیز شدگی نشان می‌دهند. عناصر نادر خاکی به دو گروه عناصر نادر خاکی سبک و سنگین شامل La , Ce , Pr , Nd , Sm , Eu و Gd است و گروه عناصر نادر خاکی سبک شامل Yb , Tb , Dy , Ho , Er , Tm , Yb است، تقسیم بندی می‌شود؛ در یک تقسیم بندی دیگر، در سه گروه شامل عناصر نادر خاکی سبک، متوسط و سنگین طبقه‌بندی می‌شوند. عناصر نادر خاکی سبک عناصری شامل La , Ce , Pr , Nd و Sm است. عناصر نادر خاکی متوسط شامل Yb , Gd , Tb , Eu و Dy است و در نهایت، اعضای گروه عناصر نادر خاکی سنگین شامل Yb , Ho , Er , Tm , Yb و Lu است (Mange and Wright, 2007). بر مبنای جدول ۱، در نمودارهای عنکبوتی کلینوپیروکسن‌های مجموعه افیولیتی نهندان بهنجارشده نسبت به کندریت، عناصر نادر خاکی سبک، تهی شدگی و عناصر نادر خاکی سنگین، غنیشدنگی نشان می‌دهند (شکل ۸) که البته در مورد کلینوپیروکسن‌های موجود در پریدوتیت‌های منطقه سفیدکوه و زلفقاری تا حدودی این موضوع صدق نمی‌کند و می‌توان گفت

۵-۳- نمودارهای عنکبوتی بهنجارشده نسبت به گوشته اولیه در کلینوپیروکسن‌ها

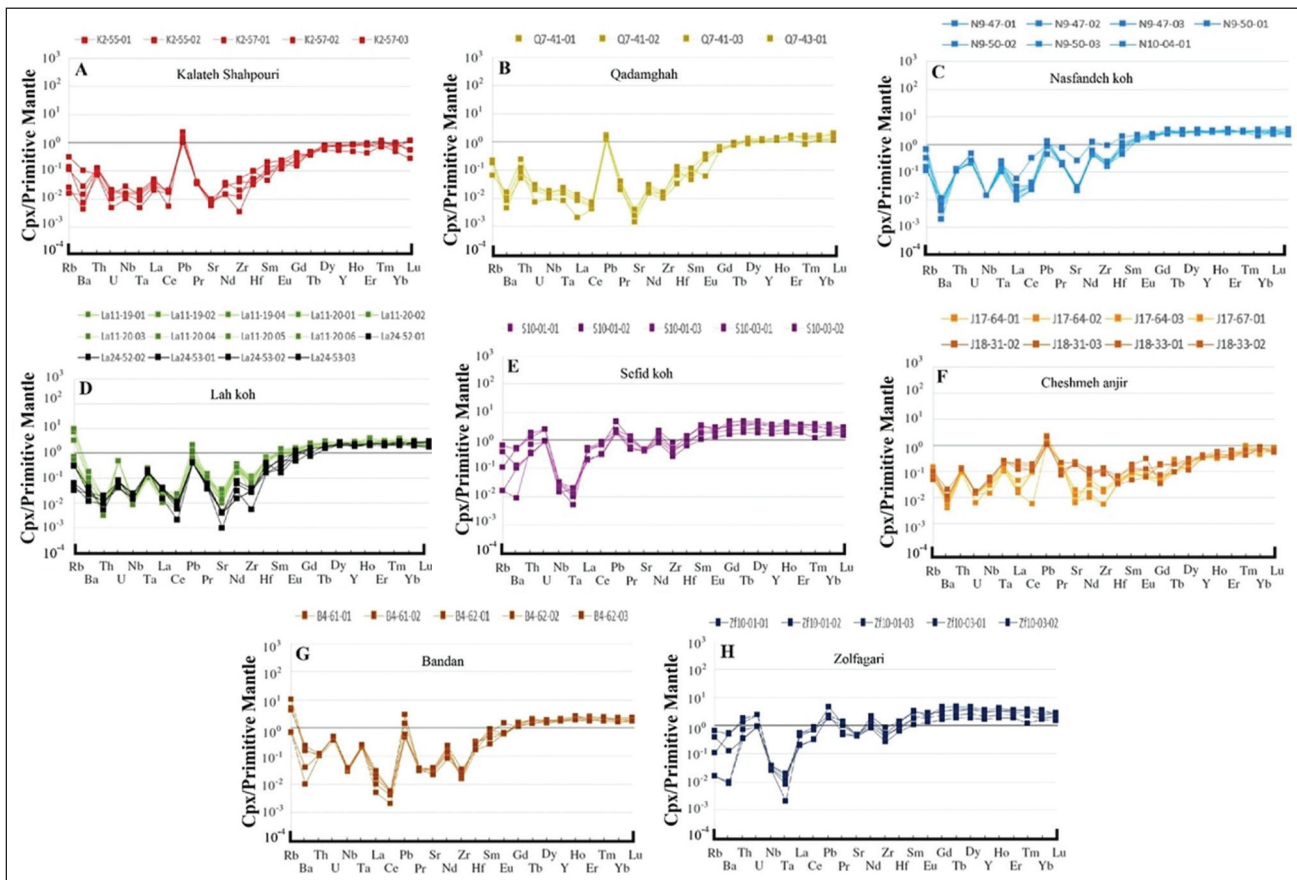
عناصر ناسازگار (Incompatible) را می‌توان به دو گروه تقسیم بندی کرد: ۱- عناصر لیتوфیل یونی بزرگ یا LILE و ۲- عناصر قابل درقت میدان بالا یا HFSE عناصر LILE شامل عناصری مانند Rb , Sr و Ba هستند که دارای شاعع یونی بزرگ هستند و به سادگی در طی دی‌هیدراسیون (Dehydration) وارد فاز ماگما می‌شوند. عناصر HFSE شامل عناصری مانند U , Th , Nb , Hf , Ta و REE شامل عناصری مانند U و Th هستند که دارای بارکتریکی بالا بوده و شاعع اتمی آنها نیز کوچک است. پس تمایل چندانی برای ورود به فاز ماگما ندارند (Albarede, 2003).

بر اساس جدول ۱، عناصر کمیاب و ناسازگار کلینوپیروکسن‌ها در نمودارهای عنکبوتی بهنجارشده نسبت به گوشته اولیه نشان می‌دهند که در همه مناطق بدلون استثنای در عنصر Pb غنی شدگی اتفاق افتاده است (همه تصاویر شکل ۷). عنصر Ta در مناطق سفیدکوه و زلفقاری با افت زیاد همراه است (شکل ۷-E-H). عنصر Ba در تمام مناطق تهی شدگی نشان می‌دهد. عناصر Nb و Zr از حدودی Sr در همه مناطق با تهی شدگی همراه است و بی‌هنجاری منفی نشان می‌دهد. لازم به یادآوری است که جدادشگی U از Ta و Th از Nb و Hf از Zr کاملاً قابل مشاهده است (شکل ۷). در کلینوپیروکسن‌های مناطق ناسفندکوه، سفیدکوه، قدمگاه، لاهکوه، بندان و زلفقاری، عناصر Gd و Tb و Dy و Ho و La , Ce , Pr , Nd , Sm , Eu و Gd تهی شدگی و

به طور کلی می‌توان گفت، فراوانی عناصر نادر خاکی در کلینوپیروکسن‌های موجود در پریدوتیت‌های مجموعه افیولیتی نهیندان از عنصر La به سمت عنصر Lu نمودارها افزایشی می‌شوند. به صورتی که عناصر در نمودارهای عنکبوتی از چپ به راست به صورت افزایشی و صعودی دیده می‌شوند که البته در قسمت عناصر نادر خاکی سنگین، افزایش نسبتاً سیری ضعیفتر و تقریباً خطی موازی با محور افقی را طی می‌کنند.

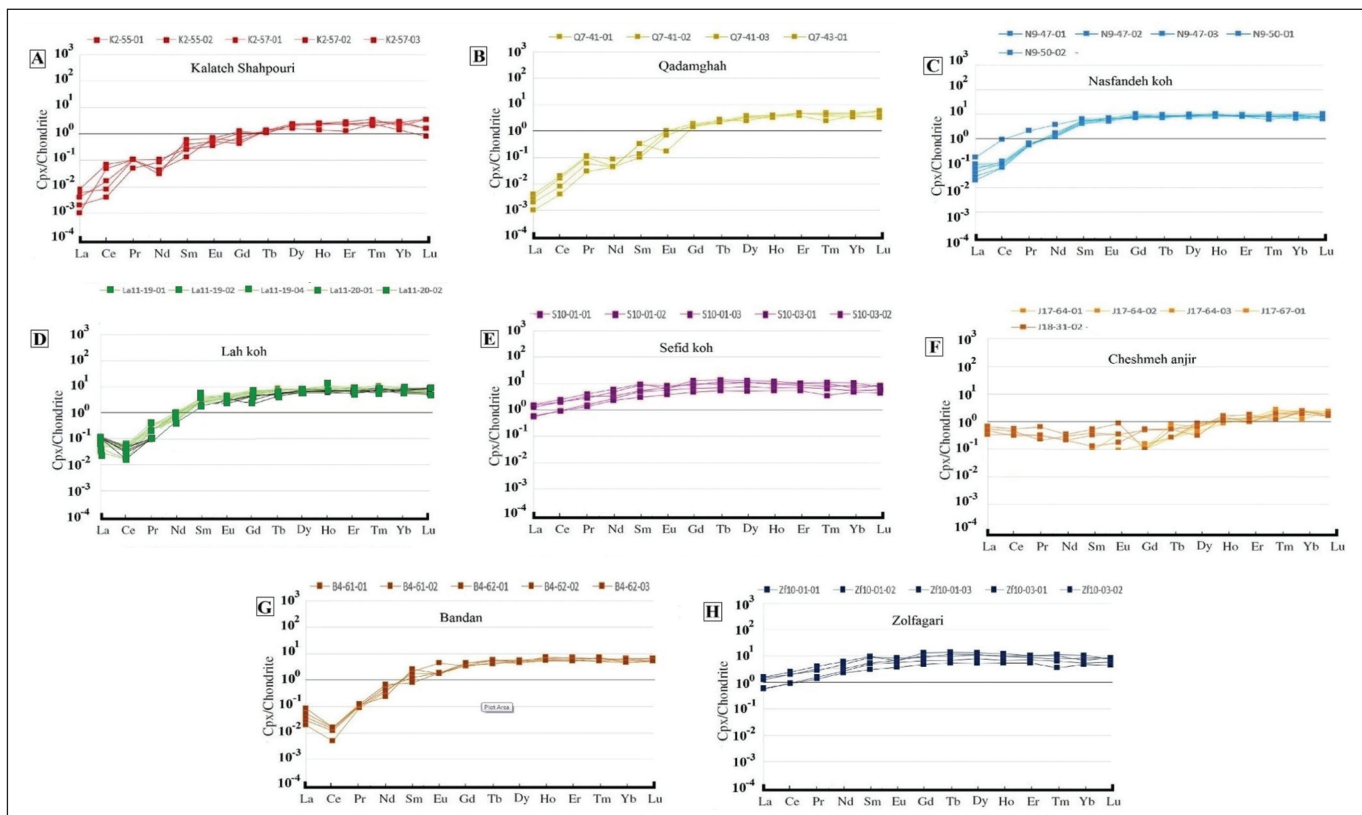
حتی در عناصر نادر خاکی سبک نیز غنی شدگی نسبت به کندریت آشکار است (شکل ۸- E و H).

در کلینوپیروکسن‌های موجود در پریدوتیت‌های لاهکوه و بندان تهی شدگی شدیدتر در Cen نسبت به بقیه عناصر نادر خاکی سبک قابل تشخیص است (شکل ۸- D و G). در کلینوپیروکسن‌های موجود در پریدوتیت‌های کلاته‌شاپوری و قدمگاه نیز این حالت تهی شدگی البته به صورت ملایم‌تر در مورد عنصر Nd دیده می‌شود (شکل ۸- A و B).



شکل ۷- نمودارهای عنکبوتی بهنجارشده عناصر ناسازگار کلینوپیروکسن‌های موجود در پریدوتیت‌های مجموعه افیولیتی نهیندان نسبت به گوشه اولیه (Sun and McDonough, 1989). (A) نمودار عنکبوتی کلینوپیروکسن‌ها در منطقه کلاته‌شاپوری. (B) نمودار عنکبوتی کلینوپیروکسن‌ها در منطقه قدمگاه. (C) نمودار عنکبوتی کلینوپیروکسن‌ها در منطقه ناسفنده کوه. (D) نمودار عنکبوتی کلینوپیروکسن‌ها در منطقه لاهکوه. (E) نمودار عنکبوتی کلینوپیروکسن‌ها در منطقه سفید کوه. (F) نمودار عنکبوتی کلینوپیروکسن‌ها در منطقه چشم‌انجیر. (G) نمودار عنکبوتی کلینوپیروکسن‌ها در منطقه بندان. (H) نمودار عنکبوتی کلینوپیروکسن‌ها در منطقه زلفقاری.

Figure 7. Spider diagram of the incompatible elements of clinopyroxenes normalized to the primary mantle in peridotites of the Nehbandan ophiolitic complex (Sun and McDonough, 1989). A) Spider diagram of clinopyroxenes in Kalateh Shahpouri area. B) Spider diagram of clinopyroxenes in Qadamgah area. C) Spider diagram of clinopyroxenes in Nasfandeh- Koush area. D) Spider diagram of clinopyroxenes in Lah-Koush area. E) Spider diagram of clinopyroxenes in Sefid- Koush area. F) Spider diagram of clinopyroxenes in Cheshmeh anjir area. G) Spider diagram of clinopyroxenes in Bandan area. H) Spider diagram of clinopyroxenes in Zolfaghari area.



شکل ۸- نمودار عنکبوتی بهنجارشده عناصر نادر خاکی کلینوپیروکسن‌ها موجود در پریدوتیت‌های مجموعه افیولیتی نهیندان نسبت به کندریت (Sun and McDonough, 1989). (A) نمودار عنکبوتی کلینوپیروکسن‌ها در منطقه کلاته شاهپوری. (B) نمودار عنکبوتی کلینوپیروکسن‌ها در منطقه قدمگاه. (C) نمودار عنکبوتی کلینوپیروکسن‌ها در منطقه ناسفنده کوه. (D) نمودار عنکبوتی کلینوپیروکسن‌ها در منطقه لاه کوه. (E) نمودار عنکبوتی کلینوپیروکسن‌ها در منطقه سفید کوه. (F) نمودار عنکبوتی کلینوپیروکسن‌ها در منطقه چشم‌هنجیر. (G) نمودار عنکبوتی کلینوپیروکسن‌ها در منطقه بندان. (H) نمودار عنکبوتی کلینوپیروکسن‌ها در منطقه زلفقاری.

Figure 8. Spider diagram of REE of clinopyroxenes normalized to chondrite in peridotites of Nehbandan ophiolitic complex (Sun and McDonough, 1989).
 A) Spider diagram for Kalateh-Shahpouri peridotites. B) Spider diagram for Qadamgah peridotites. C) Spider diagram for Nasfandeh- Kouch peridotites.
 D) Spider diagram for peridotites of Lah-Kouh area. E) Spider diagram for Sefid- Kouh peridotites. F) Spider diagram for Cheshmeh anjir peridotites. G) Spider diagram for Bandan peridotites. H) Spider diagram for Zolfaghari peridotites.

برای افیولیت عمان، جایگاه زمین‌ساختی پشتهداری میان اقیانوسی مطرح بوده است (Nicolas, 1989) ولی در مطالعات جدیدتر، جایگاه زمین‌ساختی بالای منطقه فرورانش را پیشنهاد می‌کنند (Ishikawa et al., 2002; Tamura and Arai, 2006). با این اوصاف، برای معرفی پریدوتیت‌هایی با درجه بالای ذوب بخشی و تهی شدگی، جایگاه زمین‌ساختی بالای منطقه فرورانش مقبولیت دارد. از این روند، در این مقاله نیز از این مدل ژئودینامیکی پیروی شده است.

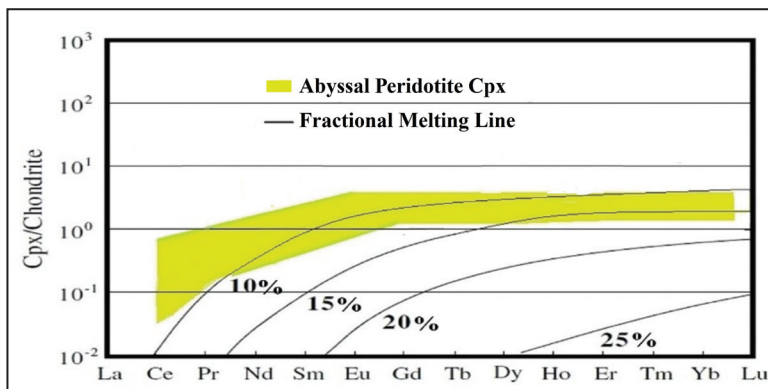
میزان مقادیر $Mg\#$, Al_2O_3 , Cr_2O_3 و TiO_2 در کلینوپیروکسن‌ها معرف جایگاه زمین‌ساختی پریدوتیت‌های میزان آنهاست. مقادیر بالای $Mg\#$ آنها، معرف جایگاه پشتهداری میان اقیانوسی با آسیال (Xiong et al., 2019) در کلینوپیروکسن‌ها نیز معرف جایگاه زمین‌ساختی پریدوتیت‌های همبستگی مثبت بین Al_2O_3 و Cr_2O_3 در کلینوپیروکسن‌ها موجود در پریدوتیت‌های

مجموعه افیولیتی نهیندان دیده می‌شود. این کلینوپیروکسن‌ها، از این منظر شبیه دیوپسیدهای حاصل از فعالیت‌های گرمابی افیولیت شمال عمان هستند (Akizawa et al., 2011). احتمالاً این کلینوپیروکسن‌ها، تولید شده توسط سیالات غنی از کلسیم در شرایط دمای بالا، بیش از ۹۰۰ درجه سانتی گراد می‌باشند (Python et al., 2007).

مطابق شکل ۹، محدوده قرارگیری عناصر نادر خاکی کلینوپیروکسن‌ها، به جز مناطق کلاته شاهپوری و چشم‌هنجیر در نمودارهای عنکبوتی بهنجارشده نسبت به کندریت، تقریباً با منطقه آسیال یا پشتهداری میان اقیانوسی همخوانی دارند (Seyler et al., 2001). درجه ذوب بخشی نیز با توجه به میزان عناصر نادر خاکی سبک و سنگین کلینوپیروکسن‌ها، حدود ۵ تا ۱۵ درصد را نشان می‌دهد. بالاترین درجه ذوب بخشی مربوط به مناطق کلاته شاهپوری و چشم‌هنجیر (۱۵ درصد ذوب بخشی) می‌باشد (Sano and Kimura, 2007).

۴- بحث

افیولیت‌ها به طور کلی می‌توانند از جایگاه‌های مختلف زمین‌ساختی مانند پشتهداری میان اقیانوسی یا مراکز گسترشی پشتقوس و همینطور مناطق بالای منطقه فرورانش یا جلوقوس منشأ گرفته باشند (Pearce et al., 1984). به طوری که در پشتهداری میان اقیانوسی درجه ذوب بخشی و درجه تهی شدگی غالباً پایین هستند. در مقابل، جایگاه زمین‌ساختی بالای منطقه فرورانش، درجه ذوب بخشی و درجه تهی شدگی بالای دارند (Niu and Hekinian, 1997). طبیعتاً تهی شدگی درجه بالای پریدوتیت‌ها، نتیجه فرایندهای بالای منطقه فرورانش است (Pearce et al., 1984). در گذشته



شکل ۹- نمودار عنکبوتی بهنجارشده عناصر نادر خاکی کلینوپیروکسن‌ها نسبت به کندریت؛ محدوده سیز رنگ کلینوپیروکسن‌های پریدوتیت‌های جایگاه زمین ساختی آبیسال یا پشت‌های میان اقیانوسی (Seyler et al., 2001) و خط‌های محدوده ۱۰، ۱۵، ۲۰ و ۲۵ درصدی ذوب بخشی (Sano and Kimura, 2007).

Figure 9. REE spider diagram of clinopyroxenes normalized to chondrite; Green ranges of clinopyroxenes from abyssal or mid-ocean ridge peridotites (Seyler et al., 2001) and range lines of 10%, 15%, 20%, and 25% partial melting (Sano and Kimura, 2007).

طبيعي است. تهی شدگی Ba نیز نشان از مناطق آبیسال دارد (Xu et al., 2000). عناصر نادر خاکی در کلینوپیروکسن‌های نوع آبیسال یک توزیع خطی نسبت به گوشته اولیه نشان می‌دهند (Bodinier and Godard, 2007). در کلینوپیروکسن‌های نوع پشت‌های میان اقیانوسی، عناصر نادر خاکی سبک مانند La, Ce, Pr, Nd, Sm, Tb, Dy, Ho, Er, Tm, Yb و Lu تا حدودی تهی شدگی و عناصر نادر خاکی سنگین مانند Eu و Gd نیز غنی شدگی نشان می‌دهند (Seyler et al., 2001) که در نمودارهای کلینوپیروکسن‌های بهنجارشده نسبت به گوشته اولیه مناطق ناسفنده کوه و سفیدکوه به طور کامل و همینطور تا حدودی در مناطق قدمگاه، بندان و زلفقاری آشکار است و در نوع بالای منطقه فروراش، عناصر نادر خاکی، تهی شدگی نشان می‌دهند (Seyler et al., 2001) که در مناطق کلاتنه‌شاپوری و چشمۀ انجر بر این صورت است. در مطالعه نمودارهای عنکبوتی عناصر نادر خاکی کلینوپیروکسن‌ها بهنجارشده نسبت کندریت (Seyler et al., 2001; Sano and Kimura, 2007) مشخص شد که درجه ذوب بخشی برای لرزولیت‌های ناسفنده کوه و سفیدکوه و هارزبورژیت‌های قدمگاه، بندان و زلفقاری تقریباً بین ۵ تا ۱۰ درصد و برای هارزبورژیت‌های مناطقی مانند کلاتنه‌شاپوری و چشمۀ انجر ۱۵ درصد می‌باشد. این موضوع با نتایج حاصل شده در نمودارهای Ti در برابر Zr, Nd, Sr (Bizimis et al., 2000; Gornova et al., 2020) تقریباً همخوانی دارد. میزان بالای عنصر Nd در کلینوپیروکسن‌ها نشانه درجه ذوب بخشی و تهی شدگی پایین در پریدوتیت‌های میزان آنهاست (Bizimis et al., 2000). همین موضوع در مورد عناصر Zr و Sr نیز کاملاً صادق می‌باشد (Gornova et al., 2020).

عناصر نادر خاکی در دماهایی پایین عناصر بی تحرکی هستند (Hulme et al., 2010) و تقریباً هیچ ارتباطی با پذیره سرپاتنی شدن، نشان نمی‌دهند (Zhou et al., 2005). غنی شدگی عناصر نادر خاکی در کلینوپیروکسن‌های نوع آبیسال نسبت به کندریت کاملاً طبیعی است (Bodinier and Godard, 2007). این موضوع با کلینوپیروکسن‌های موجود در همه پریدوتیت‌های مورد مطالعه به جز مناطق کلاتنه‌شاپوری و چشمۀ انجر مطابقت کامل دارد. تهی شدگی عناصر نادر خاکی در کلینوپیروکسن‌های این مناطق نسبت به کندریت نیز جایگاه زمین ساختی بالای منطقه فروراش را تداعی می‌کند (Bodinier and Godard, 2007).

ویژگی‌های ژئوشیمیایی کلینوپیروکسن‌ها به چهار عامل بستگی دارند: ۱- ترکیب شیمیایی و ساختار مذاب؛ ۲- توزیع کاتیون‌ها در شبکه پیروکسن؛ ۳- عوامل فیزیکی بهوژه دمای؛ ۴- تاریخچه تبلور مذاب (Nisbet and Pearce, 1977). در این رابطه بهتر است از فنوکریست‌های کلینوپیروکسن استفاده شود؛ زیرا ترکیب شیمیایی فنوکریست‌های کلینوپیروکسن بیشتر به ترکیب مذاب اولیه سازنده سنگ میزان شیبه هستند؛ و ترکیب فنوکریست‌ها ویژگی‌های شیمیایی بین انواع ماگماها را بهتر و دقیق تر نشان می‌دهد (Rollinson, 1993).

تهی شدگی و غنی شدگی عناصر ناسازگار در کلینوپیروکسن‌های موجود در پریدوتیت‌های نهیندان نسبت به گوشته اولیه منجر به تغییر در الگوهای توزیع عناصر باد شده می‌شود. به طور کلی کلینوپیروکسن‌ها با تهی و غنی شدگی در LILE (متحرک در سیالات آب‌دار) و همچنین HFSE (غیرمتحرک در سیالات آب‌دار) آشکارا نشان می‌دهند که این ویژگی باید ناشی از رفار مذاب اولیه‌ای باشد که پریدوتیت‌ها از آن تشکیل شده‌اند (Parkinson and Pearce, 1998; Gornova et al., 2020). کلینوپیروکسن‌های گوشته‌ای افیولیت‌های عمان یک بی‌هنجاری مثبت خیلی بر جسته در Sr و Eu نشان می‌دهند (Akizawa et al., 2011). این موضوع با بی‌هنجاری منفی Sr در کلینوپیروکسن‌های این مطالعه همخوانی ندارد. کلینوپیروکسن‌های مناطق فروراش با گوشته لیتوسفری زیرقاره‌ای از LILE غنی شده و از HFSE نهی شده‌اند (Xu et al., 2000; Bodinier and Godard, 2007). ولی در مقابل، کلینوپیروکسن‌های نوع آبیسال یا نوع پشت‌های میان اقیانوسی یک توزیع خطی صاف در این عناصر نشان می‌دهند (Bodinier and Godard, 2007). با توجه به الگوی زمین دینامیک مجموعه افیولیتی نهیندان، در بیشتر مناطق مورد مطالعه، ویژگی‌های مناطق آبیسال نمایان است. هرچند در برخی مناطق نیز ویژگی‌های بالای منطقه فروراش چیره می‌شود. در نمودارهای عنکبوتی U از Th در شرایط اکسید شده انجام می‌پذیرد (Bali et al., 2011). همینطور جدا شدگی Nb از Ta و Hf در زمان گاززدایی اتفاق می‌افتد (Danyushevsky et al., 1995).

درجه بالای انتشار و ارزی بالای فعال‌ساز Pb در شرایط بدون آب و بافر اکسیژن در کلینوپیروکسن‌های نوع دیوپسید رخ می‌دهد (Cherniak, 2001). پس غنی شدگی در کلینوپیروکسن‌های مجموعه افیولیتی نهیندان که نوع دیوپسید هستند، امری

۵- نتیجه‌گیری

پایین مربوط به جایگاه زمین‌ساختی پشت‌های میان اقیانوسی یا آبی‌سال هستند و در حوضه‌های پشت‌قوس تشکیل شده‌اند و در مقابل، هارزبورژیت‌های کلاطه شاهپوری و چشمۀ انجیر نیز از نوع پریدوتیت‌های بالای منطقه فروراش بوده و از حوضه‌های جلوقوس مشاً گرفته‌اند و دارای درجه ذوب بخشی و تهی‌شدگی بالای هستند.

سپاسگزاری

نویسنده‌گان مقاله از صندوق حمایت از پژوهشگران و فناوران کشور (INSF) برای حمایت‌های معنی و مادی تشکر می‌نمایند.

با توجه به مطالعات سنگنگاری و کانی‌شناسی کلینوپیروکسن‌های موجود در پریدوتیت‌های مجموعه افیولیتی نهندان و بررسی شیمی کانی آنها نتیجه‌گیری می‌شود که پریدوتیت‌های کلاطه‌شاهپوری، قلمگاه، لاه‌کوه، چشمۀ انجیر، بندان و زلفقاری از نوع هارزبورژیت و مناطق سفیدکوه و ناسفتده کوه از نوع لرزولیت هستند. نوع کلینوپیروکسن‌های این مجموعه به طور عموم، دیوپسید می‌باشد. از مطالعه ژئوشیمی‌ای عناصر اصلی، کمیاب و نمودارهای عنکبوتی کلینوپیروکسن‌های بهنجرارشده نسبت به گوشه‌های اولیه و کندریت این مجموعه مشخص گردید که پریدوتیت‌های ناسفتده کوه، بندان، زلفقاری و سفیدکوه با درجه ذوب بخشی و تهی‌شدگی

کتابنگاری

- علوی نایینی، م.، اختخارنژاد، ج.، آقاباتی، ع.، ۱۳۶۹، نقشه زمین‌شناسی زابل، مقیاس ۱:۱۰۰۰۰، سازمان زمین‌شناسی و اکتشافات معدنی کشور.
حمزه‌پور، ب.، ۱۳۵۳، نقشه زمین‌شناسی چهار فرسخ، مقیاس ۱:۱۰۰۰۰، سازمان زمین‌شناسی و اکتشافات معدنی کشور.
کریم‌زاده، ح.، رهگشای، م.، منصف، ا.، ۱۳۹۹، کانی‌شناسی، ژئوشیمی و پتروژئنتر پریدوتیت‌های گوشه‌ای مجموعه افیولیتی نهندان، شرق ایران. مجله زمین‌شناسی اقتصادی، تابستان ۱۳۹۹، سال دوازدهم، شماره ۴۶، ص. ۱۵۷-۱۷۶.
<https://doi.org/10.22067/econg.v12i2.76889>
کریم‌زاده، ح.، ۱۴۰۰، کانی‌شناسی، ژئوشیمی و پتروژئنتر مجموعه افیولیت‌های نهندان. رساله دکترا، دانشکده علوم زمین، دانشگاه شهید بهشتی، ۲۲۷ ص.

References

- Alavi Naeini, M., Eftekharnejad, J., Aghanabati, A., 1990. Geological map of Zabol, Scale 1/100000. Geological Survey of Iran. (In Persian).
- Albarede, F, 2003. Geochemistry: an introduction. Cambridge University Press.60 pp.
- Akizawa, N., Arai, S., Tamura, A., Uesugi, J., and Python, M., 2011. Crustal diopside from the northern Oman ophiolite: evidence for hydrothermal circulation through suboceanic Moho. Journal of Mineralogical and Petrological Sciences 106, 261–266. <https://doi.org/10.2465/jmps.110621b>.
- Bali, E., Audetat, A., and Keppler, H., 2011. The mobility of U and Th in subduction zone fluids: an indicator of oxygen fugacity and fluid salinity. Contributions to Mineralogy and Petrology 161(4): 597–613. <https://doi.org/10.1007/s00410-010-0552-9>.
- Bizimis, M., Salters, V.J.M., and Bonatti, E., 2000. Trace and REE content of clinopyroxenes from supra-subduction zone peridotites. Implications for melting and enrichment processes in island arcs: Chemical Geology 165(1): 67–85. [https://doi.org/10.1016/S0009-2541\(99\)00164-3](https://doi.org/10.1016/S0009-2541(99)00164-3).
- Bodinier, J.L., and Godard, M., 2007. Orogenic, ophiolitic, and abyssal peridotites. Treaties on Geochemistry, 2(1): 1–73. <https://doi.org/10.1016/B0-08-043751-6/02004-1>.
- Cherniak, D.J., 2001. Pb diffusion in Cr diopside, augite, and enstatite, and consideration of the dependence of cation diffusion in pyroxene on oxygen fugacity. Chem. Geol., 177(3): 381-397. [https://doi.org/10.1016/S0009-2541\(00\)00421-6](https://doi.org/10.1016/S0009-2541(00)00421-6).
- Danyushevsky, L.V., Sobolev, A.V., and Falloon, T.J., 1995. North Tongan high-Ca boninitic petrogenesis: the role of Samoan plume and subduction zone-transform fault transition. Journal of Geodynamics 20(3): 219–241. [https://doi.org/10.1016/0264-3707\(95\)00013-Y](https://doi.org/10.1016/0264-3707(95)00013-Y).
- Deer, W.A., Howie, R.A., and Zussman, J., 2013. An introduction to the rock-forming minerals, 3th edition, Longman Scientific & Technical, 528pp.
- Delavari M., Amini S., Saccani E., and Beccaluva L., 2009. Geochemistry and Petrology of Mantle Peridotites from the NehbandanOphioliticComplex, Eastern Iran. Journal of Applied Sciences, 9(15): 2671-2687. <https://doi.org/10.3923/jas.2009.2671.2687>.
- Gornova, M., Karimov, A., Skuzovatov, S., and Belyaev, V., 2020. From Decompression Melting to Mantle-Wedge Refertilization and Metamorphism: Insights from Peridotites of the Alag Khadny Accretionary Complex (SW Mongolia). Minerals, 10(5): 396-421. <https://www.mdpi.com/2075-163X/10/5/396>.
- Hulme, S.M., Wheat, C.G., Fryer, P., and Mottl, M.J., 2010. The porewater chemistry of the Mariana serpentinite mud volcanoes is a window to the seismogenic zone. Geochemistry, Geophysics, Geosystems, 11(1): 1–29. <https://doi.org/10.1029/2009GC002674>.
- Hamzehpour, B., 1975. Geological map of Chahar Farsakh, Scale 1/100000. Geological Survey of Iran. (In Persian).
- Ishikawa, T., Nagaishi, K., and Umino, S., 2002. Boninitic volcanism in the Oman ophiolite: implications for the thermal condition during the transition from spreading ridge to arc, Geology 30(10): 899–902. [https://doi.org/10.1130/0091-7613\(2002\)030<0899:BVITOO>2.0.CO;2](https://doi.org/10.1130/0091-7613(2002)030<0899:BVITOO>2.0.CO;2).

- Karimzadeh, H., Rahgoshay, M., and Monsef, I., 2020. Mineralogy, Geochemistry, and Petrogenesis of Kalateh-Shahpouri, Qadam-Gah and Nasfandeh Kuh peridotites, Nehbandan Ophiolitic Complex, East of Iran. *Journal of Economic Geology*, 12(2): 157-176. (In Persian with English abstract). <https://doi.org/10.22067/econg.v1i2.76889>.
- Karimzadeh, H., 2021. Mineralogy, geochemistry, and petrogenesis of Nehbandan Ophiolites Complex (Eastern Iran). Ph.D. thesis. Shahid Beheshti University. Iran. 227 p. (In Persian).
- Le Bas, M.J., 2000. IUGS Reclassification of the High-Mg and Picritic Volcanic Rocks. *Journal of Petrology*, 41(10):1467–1470. <https://doi.org/10.1093/petrology/41.10.1467>.
- Mange, M. A., and Wright, D., 2007. Heavy minerals in use, Elsevier, Amsterdam, 370pp.
- Nicolas, A., 1989. Structures of Ophiolites and Dynamics of Oceanic Lithosphere. Kluwer Academic Publishers, 384 pp.
- Nisbet, E. G., Pearce, J. A. 1977. Clinopyroxene composition in mafic lavas from different tectonic settings. Contributions to mineralogy and petrology, 63(2): 149-160. <https://doi.org/10.1007/BF00398776>.
- Niu, Y., and Hékinian, R., 1997. Basaltic liquids and harzburgitic residues in the Garrett Transform: a case study at fast-spreading ridges. *Earth Planet. Sci. Lett.*, 146(2): 243–258. [https://doi.org/10.1016/S0012-821X\(96\)00218-X](https://doi.org/10.1016/S0012-821X(96)00218-X).
- Parkinson, I.J., and Pearce, J.A., 1998. Peridotites from the Izu–Bonin–Mariana Forearc (ODP Leg 125): Evidence for Mantle Melting and Melt–Mantle Interaction in a Supra-Subduction Zone Setting. *Petrology* 39(9): 1577–1618. <https://doi.org/10.1093/petroj/39.9.1577>.
- Pearce, J.A., Lippard, S.J., and Roberts, S., 1984. Characteristics and tectonic significance of supra-subduction zone ophiolites. *Geol. Soc. Lond. Spec. Publ.*, 16(1): 77–94. <http://dx.doi.org/10.1144/gsl.sp.1984.016.01.06>.
- Python, M., Ceuleneer, G., Ishida, Y., Barrat, J.-A., and Arai, S., 2007. Oman diopside: a new lithology diagnostic of very high-temperature hydrothermal circulation in mantle peridotite below oceanic spreading centers. *Earth and Planetary Science Letters*, 255(3): 289-305. <https://doi.org/10.1016/j.epsl.2006.12.030>.
- Rollinson, H. R., 1993. Using geochemical data: evaluation, presentation, interpretation. Longman Publishing Group. 352 pp.
- Saccani E., Delavari M., Beccaluva L., and Amini, S., 2010. Petrological and geochemical constraints on the origin of the Nehbandan ophiolitic complex (eastern Iran): Implication for the evolution of the Sistan Ocean. *Lithos*, 117(4): 209-228. <https://doi.org/10.1016/j.lithos.2010.02.016>.
- Sano, S., and Kimura, J.I., 2007. Clinopyroxene REE geochemistry of the Red Hills Peridotite, New Zealand: interpretation of magmatic processes in the upper mantle and in the Moho transition zone. *Journal of Petrology*, 48(1): 113–139. <https://doi.org/10.1093/petrology/egl056>.
- Seyler, M., Toplis, M.J., Lorand, J.P., Luguet, A., and Cannat, M., 2001. Clinopyroxene microtextures reveal incompletely extracted melts in abyssal peridotites. *Geology*, 29(2):155–158. [https://doi.org/10.1130/0091-7613\(2001\)029<0155:CMRIEM>2.0.CO;2](https://doi.org/10.1130/0091-7613(2001)029<0155:CMRIEM>2.0.CO;2).
- Stocklin, J., 1977. Structural correlation of the Alpine ranges between Iran and Central Asia. *Mémoires Société Géologique de France*, 8(1): 333–353.
- Streckeisen, A., 1979. Classification and nomenclature of volcanic rocks, lamprophyres, carbonatites, and melilitic rocks: recommendation and suggestion of the IUGS, sub-commission on the systematic of Igneous Rock. *Geology*, 7(7): 331-335. [https://doi.org/10.1130/0091-7613\(1979\)7<331:CANOVR>2.0.CO;2](https://doi.org/10.1130/0091-7613(1979)7<331:CANOVR>2.0.CO;2).
- Sun, S.S., and McDonough, W.F., 1989. Chemical and isotopic systematics of ocean basalts: implications for mantle composition and processes. Geological Society, London, Special Publications, 42(1): 313–346. <https://doi.org/10.1144/GSL.SP.1989.042.01.19>.
- Tamura, A., and Arai, S., 2006. Harzburgite–dunite–orthopyroxenite suite as a record of supra-subduction zone setting for the Oman ophiolite mantle. *Lithos* 90(2): 43–56. <https://doi.org/10.1016/j.lithos.2005.12.012>.
- Tirrul, R., Bell, I.R., Griffis, R.J., and Camp, V.E., 1983. The Sistan suture zone of eastern Iran. *Geological Society of America Bulletin*, 94(1): 134–150. [https://doi.org/10.1130/0016-7606\(1983\)94<134:TSSZOE>2.0.CO;2](https://doi.org/10.1130/0016-7606(1983)94<134:TSSZOE>2.0.CO;2).
- Tirrul, R., Johns, J.W., Willoughby, N.O., Camp, V.E., Griffis, R.J., Bell, I.R., and Meixner, H.M., 1989. Geological map of Nehbandan, Scale 1/100000. Geological Survey of Iran.
- Whitney, D.L., and Evans, B.W., 2010. Abbreviations for Names of Rock-Forming Minerals. *American Mineralogist*, 95(1): 185-187. <https://dx.doi.org/10.2138/am.2010.3371>.
- Xiong, F., Dilek, Y., Wirth, R., Xu, X., and Yang, J., 2019. Opx–Cpx exsolution textures in lherzolites of the Cretaceous Purang Ophiolite (S. Tibet, China), and the deep mantle origin of Neotethyan abyssal peridotites, *International Geology Review*, 62(6): 665–682. <https://doi.org/10.1080/00206814.2019.1627678>.

- Xu, X.S., O'Reilly, S.Y., Griffin, W.L., and Zhou, X.M., 2000. Genesis of young lithospheric mantle in southeastern China: A LAM-ICPMS trace element study. *Journal of Petrology* 41(1): 111–148. <https://doi.org/10.1093/petrology/41.1.111>.
- Zarrinkoub, M. H., Pang, K.N., Chung, S. L., Khatib, M. M., Mohammadi, S. S., Chiu, H.Y., and Lee, H.Y., 2012. Zircon U–Pb age and geochemical constraints on the origin of the Birjand ophiolite, Sistan suture zone, eastern Iran. *Lithos*, 154(26): 392–405. <https://doi.org/10.1016/j.lithos.2012.08.007>.
- Zhou, M.F., Robinson, P.T., Malpas, J., Edwards, S., and Qi, L., 2005. REE and PGE geochemical constraints on the formation of dunites in the Luobusa ophiolite, southern Tibet. *Journal of Petrology*, 46(3), 615–639. <https://doi.org/10.1093/petrology/egh091>.